



محیط رسوبی، دیاژن و ژئوشیمی سنگهای کربنات سازند بهرام (دونین میانی - پسین) در برش قلعه بالا (ازبک کوه، شرق ایوان)

فاطمه محمودی^۱، غلامرضا صواب شبستری^{۲*}، احمد رضا خزاعی^۳

- ۱- دانش آموخته کارشناسی ارشد رسوب شناسی و سنگ شناسی رسوبی، گروه زمین شناسی، دانشکده علوم، دانشگاه بیرجند، بیرجند، ایران
- ۲- دانشیار گروه زمین شناسی، دانشکده علوم، دانشگاه بیرجند، بیرجند، ایران
- ۳- استادیار گروه زمین شناسی، دانشکده علوم، دانشگاه بیرجند، بیرجند، ایران

* پست الکترونیک: gshabestari@birjand.ac.ir

تاریخ پذیرش: ۹۳/۱۱/۱

تاریخ دریافت: ۹۲/۱۲/۷

چکیده

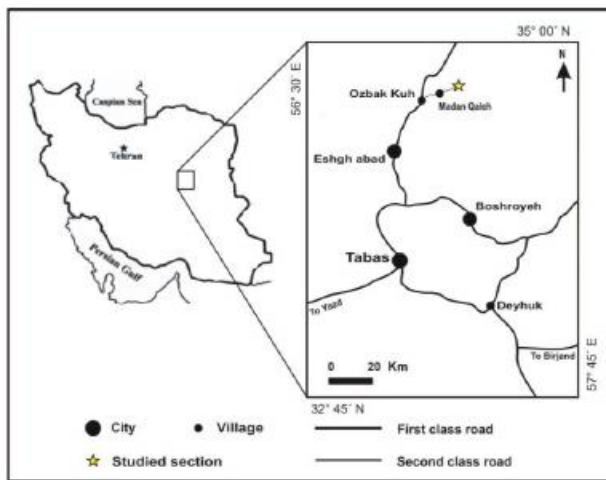
در این پژوهش یک برش چینه‌شناسی از سنگهای کربنات سازند بهرام (دونین میانی - پسین) به ضخامت ۳۳۲ متر در شرق روستای ازبک‌کوه واقع در شمال شهرستان طبس (استان خراسان جنوبی) اندازه‌گیری و مطالعه شده است. این توالی به طور عمده از سنگ آهکهای نازک تا ضخیم لایه خاکستری رنگ تشکیل شده است. بر اساس مطالعات صحرایی و پتروگرافی، تعداد بیاذه ریزرساره کربناته گوناگون شناسایی گردید. این ریزرساره‌ها در قالب پنج کمریند رساره‌ای شامل پهنه جزرومی، کالالهای جزرومی، لاگون، پشته کربناته و دریای باز در یک پلاتفرم کربناته از نوع رمپ نهشته شده‌اند. مهمترین فرآیندهای دیاژنی مشاهده شده در نمونه‌های سازند بهرام شامل فشرده‌گی، سیمانی شدن، دولومیتی شدن، اتحلال و پرشدگی، آشتگی زیستی و ایجاد شکستگی هستند. تفسیر توالی پاراژنتیکی سنگهای آهکی مورد مطالعه نشان دهنده تأثیر فرآیندهای دیاژنی در محیط‌های دریایی، جوی و تدفینی می‌باشد. مطالعات ژئوشیمیابی حاصل از آنالیز عصری نشان داده است محیط تشکیل این نهشته‌ها مشابه با مناطق معتدله عهد حاضر بوده است. همچنین، محیط دیاژنتیکی این سنگهای کربناته از نظر ژئوشیمیابی یک سیستم باز بوده است.

واژه‌های کلیدی: سازند بهرام؛ ازبک‌کوه؛ دونین میانی - پسین؛ رمپ کربناته؛ دیاژن؛ ژئوشیمی.

مقدمه

آن، دونین پیشین را در قالب سازند پادها، و دونین میانی و پسین را با نام سازندهای سیزار، بهرام و شیستو (شیستو ۱) نام‌گذاری و معرفی کرده‌اند (علوی نائینی، ۱۳۸۸). سازند سنگ آهکی بهرام به سن دونین میانی - پسین (ژیوسین - فرازین)، دومین سازند گروه ازبک‌کوه، واحدی سنگی

به باور آقاباتی (۱۳۸۹)، با تکیه بر ویژگیهای چینه‌شناسی و نتایج حاصل از مطالعات پالینولوژی، سنگهای دونین ایران را می‌توان در دو گروه سنگهای آواری به سن دونین پیشین و سنگهای به طور عمده کربناتی به سن دونین میانی - پسین جای داد. در نواحی ایران مرکزی به ویژه در نواحی شرقی



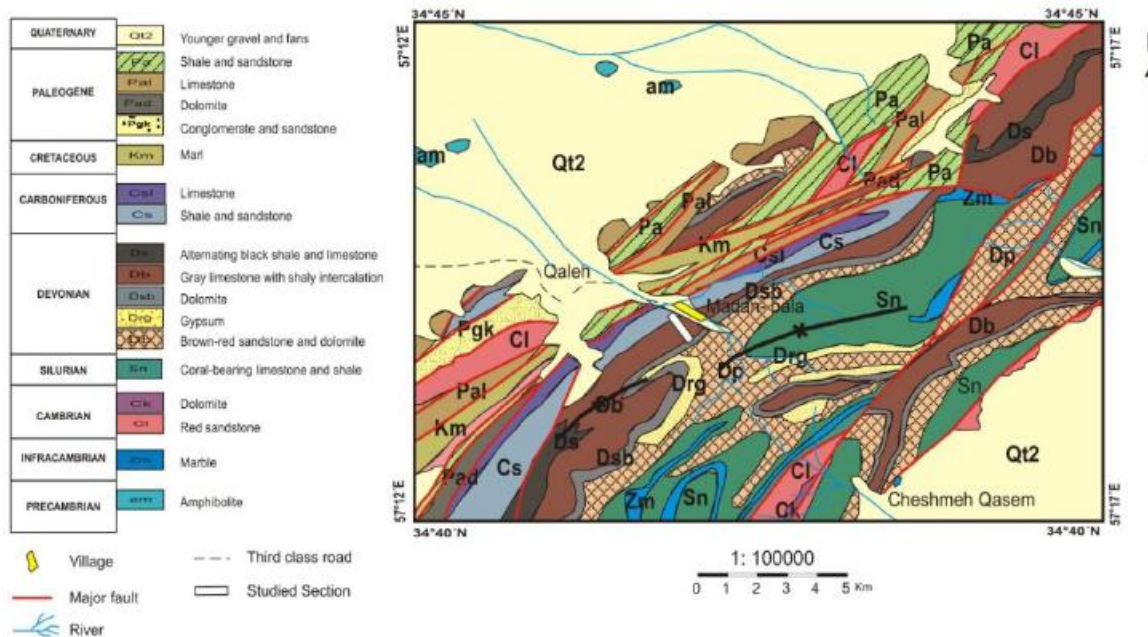
شکل ۱: موقعیت راههای سترسی به منطقه مورد مطالعه برگرفته از بختیاری، ۱۲۸۴ با ترسیم مجدد.

روش مطالعه

پس از بررسیهای صحرایی، اندازه‌گیری و نمونه‌برداری، تعداد ۹۰ مقطع نازک میکروسکوپی تهیه و مورد مطالعه قرار گرفت. جهت تشخیص ریزرساره‌ها، درصد فراوانی اجزای کربناته و غیرکربناته برای هر یک از مقاطع نازک با استفاده از نمودارهای مقایسه‌ای Flügel (2001) و Tucker (2010) ارزیابی شدند و سپس هر یک از نمونه‌ها بر اساس طبقه‌بندی Dunham (1962) و Embry & Klovan (1971) نام‌گذاری گردیدند. همچنین فرآیندهای دیاژنزی در مقاطع نازک مورد بررسی قرار گرفت. به منظور تشخیص کانی کلستیت از دولومیت و کربناتهای آهن‌دار و بدون آهن از یکدیگر، مقاطع نازک به وسیله معرف آپیزارین قرمز و فری سیانید پتابسیم به روش Dickson (1965) (رنگ آمیزی) شدند. پس از تعیین مقدار مواد نامحلول در اسید (IR)، تعداد ۱۵ نمونه مناسب میکرایتی با کمترین میزان پرشدگی و دگرسانی جهت انجام مطالعات ژئوشیمیایی انتخاب شدند. آنالیز نمونه‌ها توسط دستگاه طیف سنج جذب اتمی مدل Shimadzo-AA 670 در آزمایشگاه شیمی دستگاهی گروه شیمی دانشگاه فردوسی مشهد انجام گرفت.

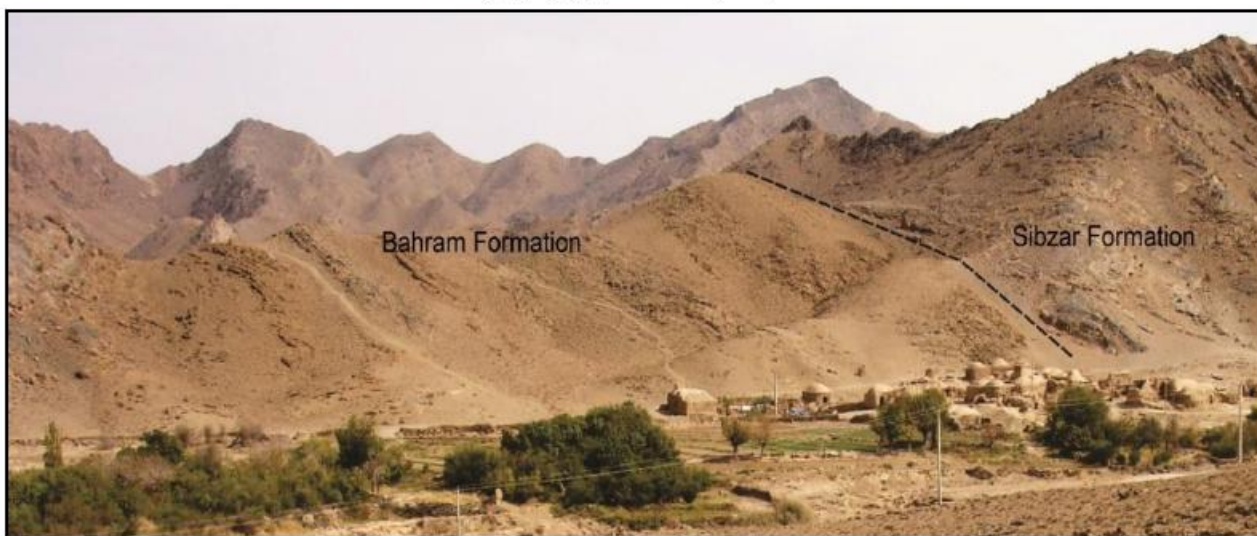
است که بین سازند سیزاز در پایین و سازند شیشه‌تو در بالا قرار دارد و شامل سنگ آهکهای آبی - خاکستری و سیاه رنگ می‌باشد. بنابر گزارش (Ruttner et al., 1970) سازند بهرام شامل ۳۰۰ متر سنگ آهکهای آبی - خاکستری و سیاه است که به طور محلی گرهکها و میانلایه‌هایی از شیلهای مارنی تیره رنگ دارد. مرز زیرین این سازند، با دولومیتهای سازند سیزاز، تدریجی است. به جز مناطقی که سازند بهرام در توالی چینه‌شناسی عادی و در زیر سازند شیشه‌تو قرار دارد، مرز بالایی این سازند در دیگر نواحی ناپیوسته و فرسایشی است (آقاباتی، ۱۳۸۹). پژوهش‌های پیشین انجام شده بر روی این سازند در منطقه (به عنوان مثال: احمدی و عاشوری، ۱۳۷۷؛ بهاری و همکاران، ۱۳۸۵؛ احمدزاده هروی و همکاران، ۱۳۸۶) به طور عمده شامل مطالعات زیست چینه‌ای و سنگ چینه‌ای بوده است، اما در سالهای اخیر، مطالعات دیگری از جمله رستم نژاد و همکاران (۱۳۹۱) و هاشمی و همکاران (۱۳۹۱) بر روی محیط رسویی، چینه نگاری سکانسی و توالی پاراژنتیکی سازند بهرام در منطقه کرمان نیز به انجام رسیده است. همچنین، حسین آبادی و همکاران (۱۳۹۲)، ریزرساره‌ها و محیط رسویی سازند بهرام در شمال شرق طبس را مطالعه کرده‌اند.

در پژوهش پیش رو، برش چینه‌شناسی قلعه بالا در ۱۱ کیلومتری شرق روستای ازبک‌کوه واقع در شمال طبس مطالعه شده است (شکل‌های ۱ و ۲). این برش چینه‌شناسی با مختصات قاعده $34^{\circ}42'40/9''$ عرض شمالی و $57^{\circ}14'32/3''$ طول شرقی و با ضخامت ۳۲۲ متر از سنگ آهکهای خاکستری رنگ با میانلایه‌های نازکی از شیل در بخش میانی تشکیل شده است. مرز زیرین این برش به طور پیوسته با دولومیت خاکستری رنگ ضخیم لایه سازند سیزاز (شکل ۳) و مرز بالایی آن با یک واحد فرسایشی از جنس کنگلومرای قاره‌ای مشخص می‌شود.



شکل ۲: نقشه زمین‌شناسی محدوده برش مورد مطالعه؛ برگرفته از نقشه زمین‌شناسی ۱:۱۰۰۰۰ ازبک کوه

(Ruttner *et al.*, 1970) با ترسیم مجدد



شکل ۳: نمای کلی قاعده برش چینه شناسی برش قلعه بالا؛ خط چینه سیاه رنگ مرز سازند سبزوار را نشان می‌دهد (جهت دید به سوی شرق).

تشکیل شده و فاقد آلوکمهای اسکلتی و غیراسکلتی می‌باشد. ویژگی اصلی آن دولومیتها بسیار ریز بلور است که بیش از ۲۰ درصد از زمینه سنگ را فرا گرفته است (شکل ۴الف). این ریزرساره معادل RMF 22 در نوشه Flügel (2010) است.

۲- ریزرساره I₂: مادستون کربناته (Lime Mudstone)؛ میکرایت جزو اصلی این ریزرساره را تشکیل می‌دهد و آلوکمهای اسکلتی و غیراسکلتی

توصیف ریزرساره‌ها

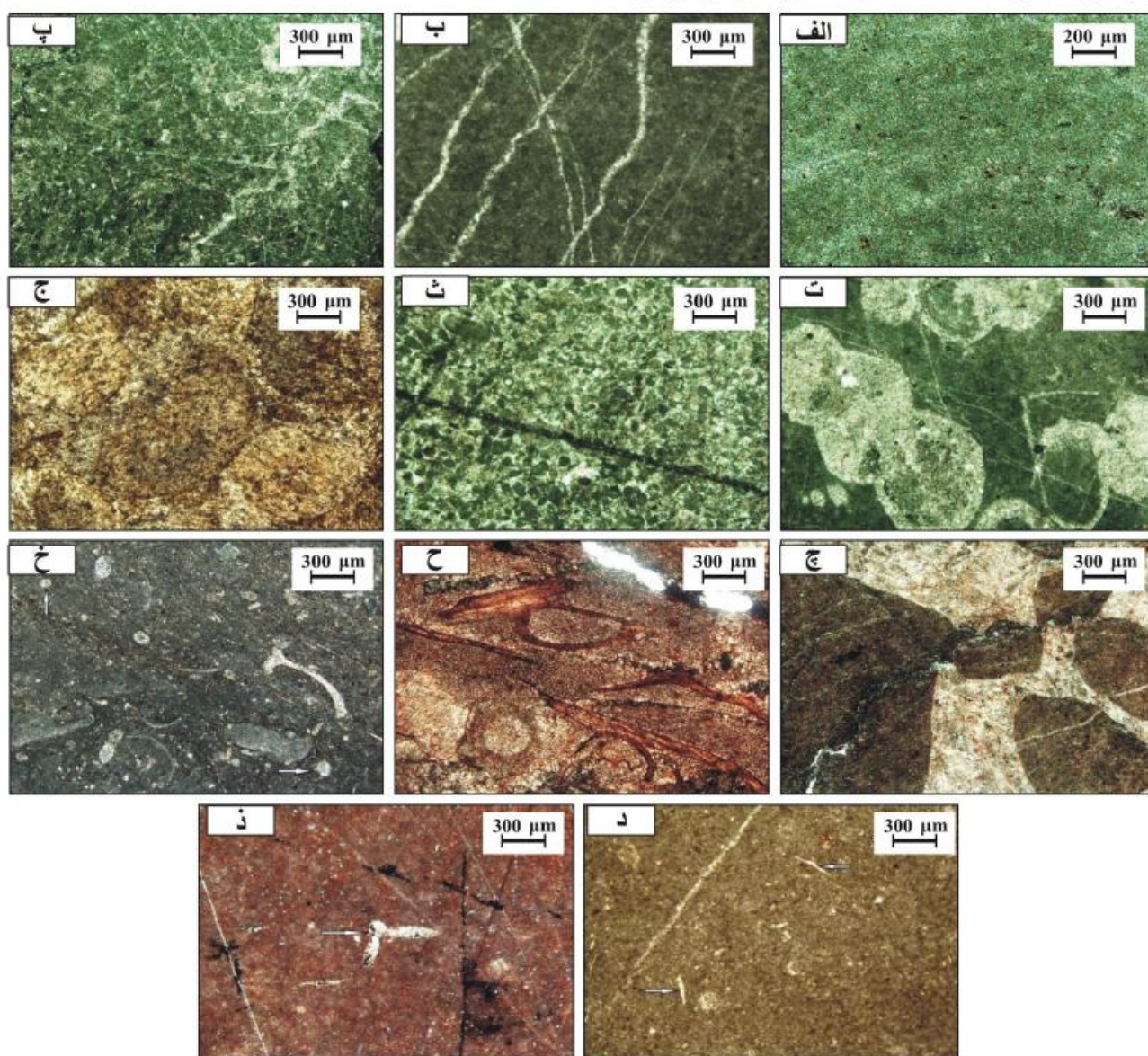
بر اساس مطالعات پتروگرافی، سنگ آهکهای سازند بهرام در منطقه مورد مطالعه، از ۱۱ ریزرساره تشکیل شده‌اند. تفکیک ریزرساره‌ها بر اساس کمیت و نوع اجزای اسکلتی و غیراسکلتی و بافت صورت گرفته است. این ریزرساره‌ها به ترتیب از بخش کم عمق به عمیق به شرح ذیل است:

- ۱- ریزرساره I₁: مادستون دولومیتی شده (Dolomitized Mudstone Microfacies): این ریزرساره عمده‌تاً از میکرایت

گرفته‌اند. فرآیندهای دولومیتی شدن، سیلیسی شدن و باقتهای لخته شده، ژئوپیال و آشفتگی زیستی در نمونه‌های این ریزرخساره دیده می‌شود. ریزرخساره ۳ می‌تواند به ریزرخساره وکستون/پکستون پلوئیدی تغییر کند که در آن علاوه بر فراوانی اجزای سازنده، آلومکهای اسکلتی به ویژه بازوپایان درشت‌تر شده‌اند. در طبقه بندي رخساره‌ای بازوهای این ریزرخساره معادل ۲۰ RMF (Flügel 2010)، این ریزرخساره معادل ۱۹ RMF (Flügel 2010) می‌باشد (شکل ۴ ب).

قابل توجهی در این ریزرخساره دیده نمی‌شود (شکل ۴ ب). این ریزرخساره معادل ۱۹ RMF در نوشته Flügel (2010) می‌باشد.

۳- ریزرخساره ۳: مادستون/وکستون پلوئیدی (Peloidal Mudstone/Wackestone Microfacies): مهمترین اجزای تشکیل دهنده این ریزرخساره پلوئید با فراوانی ۵ تا ۴۵ درصد می‌باشد که همراه با خردنهای اسکلتی (بازوهای، خارپوست، استراکود، کلسی‌اسفر، شکم‌پا و دوکفه‌ای) با فراوانی کمتر از ۵ درصد در یک زمینه میکرایتی قرار



شکل ۴: تصاویر میکروسکوپی برگزیده از ریزرخسارهای مشاهده شده (شور عبوری): (الف) مادستون دولومیتی شده، (ب) مادستون کربناته، (پ) مادستون/وکستون پلوئیدی؛ (ت) وکستون/پکستون باپوکلاستی؛ (ث) گرینستون باپوکلاستی؛ (ج) گرینستون پلوئیدی؛ (چ) فلوتسنون/پکستون اینترکلاستی؛ (ح) پکستون/گرینستون باپوکلاستی؛ (خ) وکستون باپوکلاستی حفر شده؛ (د) وکستون باپوکلاستی حفر شده؛ (ز) مادستون سیلتی حاوی سوزن اسفنج

۱ تا ۲ درصد است (شکل ۴ج). فضای بین آلوکمهای توپوگرافی دانه‌ای و موزائیکی بدون آهن متوسط تا درشت بلور، سیمان هم بعد و رورشدی هم محور و فیبری پُرسده است. زمینه میکرایتی در برخی نمونه‌های این ریزرساره حداکثر تا ۵ درصد قابل مشاهده است. این ریزرساره را می‌توان معادل با RMF26 در نوشته Flügel (2010) در نظر گرفت. تمرکز خارپوستان در محیط‌های رمپ میانی معمول است (Flügel, 2010).

۷- ریزرساره M₂: فلوتون/پکستون اینترالاستی (Intraclastic Floatstone/Packstone Microfacies): اینترالاستهای گرد شده با فراوانی حدود ۲۰ تا ۵۰ درصد مهمترین اجزای تشکیل دهنده این ریزرساره می‌باشد. پلوئید (حدود ۵ درصد) و خردنهای بازوپایان (حدود ۵ درصد) و ذرات آواری کوارتز (حدود ۱ درصد) از دیگر اجزای تشکیل دهنده ریزرساره M₂ است. زمینه به طور عمده شامل سیمان موزائیکی درشت بلور و سیمان دانه‌ای هم بعد و کمتر میکرایتی (حداکثر ۵ درصد) می‌باشد (شکل ۴ج). این ریزرساره معادل ۹ RMF در نوشته Flügel (2010) است.

۸- ریزرساره O₁: پکستون/گرینستون بايوکلاستی (Bioclastic Packstone/Grainstone Microfacies): اسکلتی این ریزرساره شامل بازوپایان درشت با فراوانی حداکثر ۳۵ درصد، خارپوستان با فراوانی حداکثر ۲۵ درصد، برپوزوئر با فراوانی ۵ درصد، قالبهای دوکفه‌ای و استراکود با فراوانی حدود ۲ درصد و اجزای غیراسکلتی شامل پلوئید حداکثر ۵ درصد می‌باشند. در نمونه‌هایی که اجزای اسکلتی درشت تر شده‌اند فراوانی زمینه میکرایتی پایین است. ذرات آواری کوارتز (حدود ۱ درصد)، کانیهای تیره (حدود ۱ درصد) و فرآیندهای دولومیتی شدن و انحلال فشاری در این ریزرساره مشاهده می‌شود (شکل ۴ج).

۴- ریزرساره I₄: وکستون/پکستون بايوکلاستی (Bioclastic Wackestone/Packstone Microfacies): مهمترین اجزای تشکیل دهنده این ریزرساره شکمپا با فراوانی ۴۰ تا ۴۵ درصد است (شکل ۴ت). اجزای اسکلتی دیگر شامل بازوپایان دوکفه‌ای، استراکود و درصد پایینی خارپوست می‌باشد. در برخی نمونه‌ها از فراوانی شکمپايان کاسته و بر شمار بازوپایان افزوده شده است. این اجزا در یک زمینه میکرایتی قرار گرفته‌اند، اما در نمونه‌هایی که فراوانی بازوپایان بیشتر شده، زمینه اسپاری نیز افزایش یافته است. تخلخلهای حفره‌ای و درون دانه‌ای با کلسیت اسپاری موزائیکی پُرسده است. در زمینه میکرایتی و در سطح بعضی از آلوکمهای فرآیند دولومیتی شدن (۱۵ تا ۲۰ درصد) دیده می‌شود. همچنین فابریک ژئوپتال در بعضی آلوکمهای اسکلتی به ویژه شکمپایان قابل مشاهده است. این ریزرساره با Flügel (2010) در نوشته RMF 20 قابل مقایسه می‌باشد.

۵- ریزرساره I₅: گرینستون پلوفیدی (Peloidal Grainstone Microfacies): این ریزرساره از ۶۵ تا ۷۰ درصد پلوئید گرد شده و نسبتاً جور شده، حدود ۵ درصد اینترالاست، ۱ تا ۵ درصد روزن‌داران کفزی و حدود ۲ درصد خردنهای بازوپایان، استراکود و کلسی اسپر تشکیل شده است. فضای بین آلوکمهای توپوگرافی موزائیکی درشت بلور و ریزبلور و سیمان نوع دانه‌ای پُرسده است. (شکل ۴ث). این ریزرساره با RMF در نوشته Flügel (2010) معادل می‌باشد.

۶- ریزرساره M₁: گرینستون بايوکلاستی (Bioclastic Grainstone Microfacies): مهمترین اجزای اسکلتی مشاهده شده در این ریزرساره قطعات سالم و خرد شده خارپوستان با فراوانی ۵۰ تا ۷۵ درصد است که در بعضی قسمتها این اجزا با یکدیگر تماس مماسی دارند. اجزای اسکلتی دیگر، بازوپایانی با اندازه درشت و با فراوانی ۱۰ تا ۲۵ درصد می‌باشد. اجزای غیراسکلتی نیز شامل اینترالاست با فراوانی

می باشد (شکل ۴). آشفتگی زیستی در نمونه های این ریز رخساره نیز قابل مشاهده است. این ریز رخساره معادل RMF 1 در نوشه Flügel (2010) در نظر گرفته می شود.

تفسیر محیط رسوب گذاری

بر اساس ریز رخساره های موجود در برش قلعه بالا و با توجه به کمیت و نوع اجزای اسکلتی و غیر اسکلتی موجود در آنها و نیز با بررسی نحوه تغییرات عمودی ریز رخساره ها، محیط رسوب گذاری و شرایط تشکیل آنها تفسیر شده است. ریز رخساره های شناسایی شده بر اساس تقسیم بندی Flügel (2010) در قالب پنج کمربند رخساره ای که به ترتیب از بخش کم عمق به عمیق شامل پهنه جزرومدمی، لاغون، پشت کربناته، کانالهای جزرومدمی و دریای باز می باشد، به شرح زیر دسته بندی شده اند:

کمربند رخساره ای پهنه جزرومدمی: ریز رخساره مادستون دولومیتی شده (I₁), تنها ریز رخساره این کمربند رخساره ای می باشد. با توجه به این که این ریز رخساره فاقد آلوکمهای اسکلتی است و بیش از ۳۰ درصد زمینه سنگ را دولومیتهاي بسيار ريزبلور تا ريزبلور تشکيل می دهند، می توان گفت اين ریز رخساره در پهنه جزرومدمی تشکیل شده است. نبود اجزای اسکلتی در این ریز رخساره نشان دهنده شرایط محیطی نامناسب برای زیست موجودات است Flügel, Alsharhan et al., 2003; Wilson, 1975) Immenhauser et al., 2010; Brasier et al., 2011 2010 (2012). به طور کلی عقیده بر این است که مادستونهای آهکی تا دولومیتی در قسمت داخلی پهنه های جزرومدمی تشکیل می شوند (Warren, 2000). فراوانی زمینه میکرایتی نیز بر اثری پایین محیط تشکیل این ریز رخساره دلالت می کند. وجود دولومیتهاي بسيار ريزبلور تا ريزبلور نشان دهنده تشکیل اين دولومیتها در شرایط نزدیک زمین و طی مراحل اولیه دیاژنز (بلافاصله پس از رسوب گذاری) در

این ریز رخساره معادل با 7 RMF در نوشته Flügel (2010) است.

۹- ریز رخساره O₂: و کستون بايو کلاستی حفر شده (Burrowed Bioclastic Wackestone Microfacies) آلوکمهای این ریز رخساره قالبهای فسیلی رادیولرها، سوزن اسفنج، شکم پایان و دوکفه ایهای با صدفهای نازک، استراکود و خارداران است که به همراه درصد پایینی ذرات کوارتز (کمتر از ۱ درصد) در یک زمینه میکرایتی (با فراوانی ۸۵ تا ۹۰ درصد) شناور می باشد (شکل ۴خ). بافت های نودولار و به ویژه آشفتگی زیستی (شدید) در ریز رخساره O₂, قابل مشاهده است. این ریز رخساره در صحرابه صورت سنگ آهک نازک لایه خاکستری تیره رنگ که دارای ساخت نودولار است، دیده می شود. در طبقه بندی رخساره ای Flügel (2010)، این ریز رخساره معادل 3 RMF در نظر گرفته شده است.

۱۰- ریز رخساره O₃: و کستون پلوفیدی (Peloidal Wackestone Microfacies): اجزای سازنده این ریز رخساره شامل حدود ۳۵ درصد پلوفید، ۲ تا ۵ درصد سوزن اسفنج و رادیولر و حدود ۱ درصد قطعات خارپوست می باشد که در یک زمینه میکرایتی شناورند (شکل ۴د). پلوفیدها در این ریز رخساره بسیار ریز هستند و جور شدگی خوبی دارند. این ریز رخساره را می توان معادل با RMF4 در نوشته Flügel (2010) در نظر گرفت که در رمپ خارجی نهشته شده است.

۱۱- ریز رخساره O₄: مادستون سیلیتی حاوی سوزن اسفنج (Sponge Spicule-bearing Silty Mudstone Microfacies): اجزای اسکلتی تشکیل دهنده این ریز رخساره، شامل سوزن اسفنج، قالب رادیولر و خرددهای خارپوستان و استراکود (با فراوانی حدود ۲ درصد) می باشد. ذرات سیلیتی کوارتز (با فراوانی حدود ۲ درصد) و کانیهای تیره (با فراوانی بیش از ۱ درصد)، از دیگر اجزای تشکیل دهنده این ریز رخساره

خارجی ترین ریز رخساره‌های لاغون را تشکیل می‌دهند به طوری که با افزایش انرژی و شسته شدن گل کربناته از بین آلوکمهای رخساره گرینستون مربوط به کمربند رخساره‌ای پشته کربناته و کانالهای جزو مردمی تشکیل شده است.

کمربند رخساره‌ای پشته کربناته: ریز رخساره گرینستون با یوکلاستی تنها ریز رخساره‌ای است که به محیط رسویی پشته کربناته در رمپ میانی نسبت داده می‌شود. با توجه به نبود گل آهکی و فراوانی زیاد دانه‌ها که از ویژگیهای محیط Flügel پرانرژی سد یا پشته است (Wilson, 1975; 2010)، این ریز رخساره می‌تواند به بخش پشته کربناته نسبت داده شود. وجود سیمان حاکی از آن است که گل کربناته در اثر افزایش انرژی از محیط شسته شده و فضای خالی Carannante et al., 2010؛ Flügel, 2010 توسط سیمان پرشده است (Irwin, 2000; Geel, 2000; Masse et al., 2000). مقدار بالای سیمان و نبود میکرایت نشان دهنده تشکیل نهشته‌ها در محیط پرانرژی و بالاتر از سطح اثر امواج (Geel, 2000; Irwin, 1965; Wilson, 1975). حضور فراوان خارپوست و ظهور بریوزوئر نشان می‌دهد این ریز رخساره در مجاورت دریایی باز نهشته شده است (Geel, 2000; Wilson, 1975). به طور کلی می‌توان گفت این ریز رخساره پر انرژی ترین رخساره در توالی مورد مطالعه بوده و به صورت پشته‌هایی با اجزای اسکلتی فراوان، بر روی رمپ میانی تشکیل شده است. همچنین با توجه به تنوع زیستی وجود فسیلهای شاخص دریایی باز در کنار نمونه‌های زیر محیط لاغون، به نظر می‌رسد که در زمان تشکیل این رسویات، سد توسعه یافته‌ای که بتواند باعث جدایش کامل دریایی باز از لاغون شود وجود نداشته است. کمربند رخساره‌ای کانالهای جزو مردمی: ریز رخساره فلوتستون/پکستون ایتراکلاستی در این کمربند قرار می‌گیرد. به نظر می‌رسد این ریز رخساره با افزایش یکباره انرژی محیط در شرایط توفانی به صورت برشهای رسویی در

محیط‌های جزر و مدی است که در محدوده سوپراتایdal تا بالای ایتراتایdal تشکیل شده‌اند (Gregg & Shelton, 1990; Adabi, 1996).

کمربند رخساره‌ای لاغون: ریز رخساره‌های مادستون کربناته (I₂)، مادستون/وکستون پلوئیدی (I₃)، وکستون/پکستون با یوکلاستی (I₄) و گرینستون پلوئیدی (I₅) در این کمربند رخساره‌ای قرار می‌گیرند. ریز رخساره I₂ به دلیل داشتن گل آهکی فراوان در یک محیط رسویی آرام نهشته شده است (Papazzoni & Trevisani, 2006; Adachi et al., 2004).

نبود اجزای اسکلتی و غیر اسکلتی، نبود شواهد خروج از آب و همچنین موقعیت قرارگیری در توالی نشان می‌دهد این ریز رخساره در بخش لاغون به سمت ساحل نهشته شده است. نبود فسیل در این ریز رخساره نشان دهنده نبود شرایط مناسب برای زیست موجودات و چرخش محدود آب است (Sandullia & Raspinib, Bosence & Wilson, 2003). نبود اسکلتی و غالباً بودن پلوئید در ریز رخساره I₃ محیط رسوب گذاری این ریز رخساره به لاغون کم انرژی و نیمه محصور که ارتباط محدودی با دریایی باز دارد (Tamasovych, 2004). نسبت داده می‌شود. با توجه به فراوانی میکرایت، وجود آلوکم اسکلتی شکم پا با درصد بالا و حضور موجودات گوناگون، به احتمال زیاد ریز رخساره I₄ در لاغون نیمه محصور نهشته شده است. نمونه‌هایی که در آن زمینه میکرایتی کاهش یافته و آلوکمهای اسکلتی مانند بازوپایان و خارپستان افزایش یافته‌اند، در بخش نزدیک به دریایی باز لاغون نهشته شده و با دریایی باز در ارتباط می‌باشند. وجود پلوئیدهای گلی تقریباً هماندازه و بدون لامیناسیون که با روزن‌داران کف‌زی، استراکود و کلسی اسفل همراه هستند نشانگر تمثیل در محیط دریایی کم عمق حفاظت شده با چرخش معتدل یا ملایم آب و در محیط رمپ داخلی می‌باشد. ریز رخساره‌های I₅ و I₆

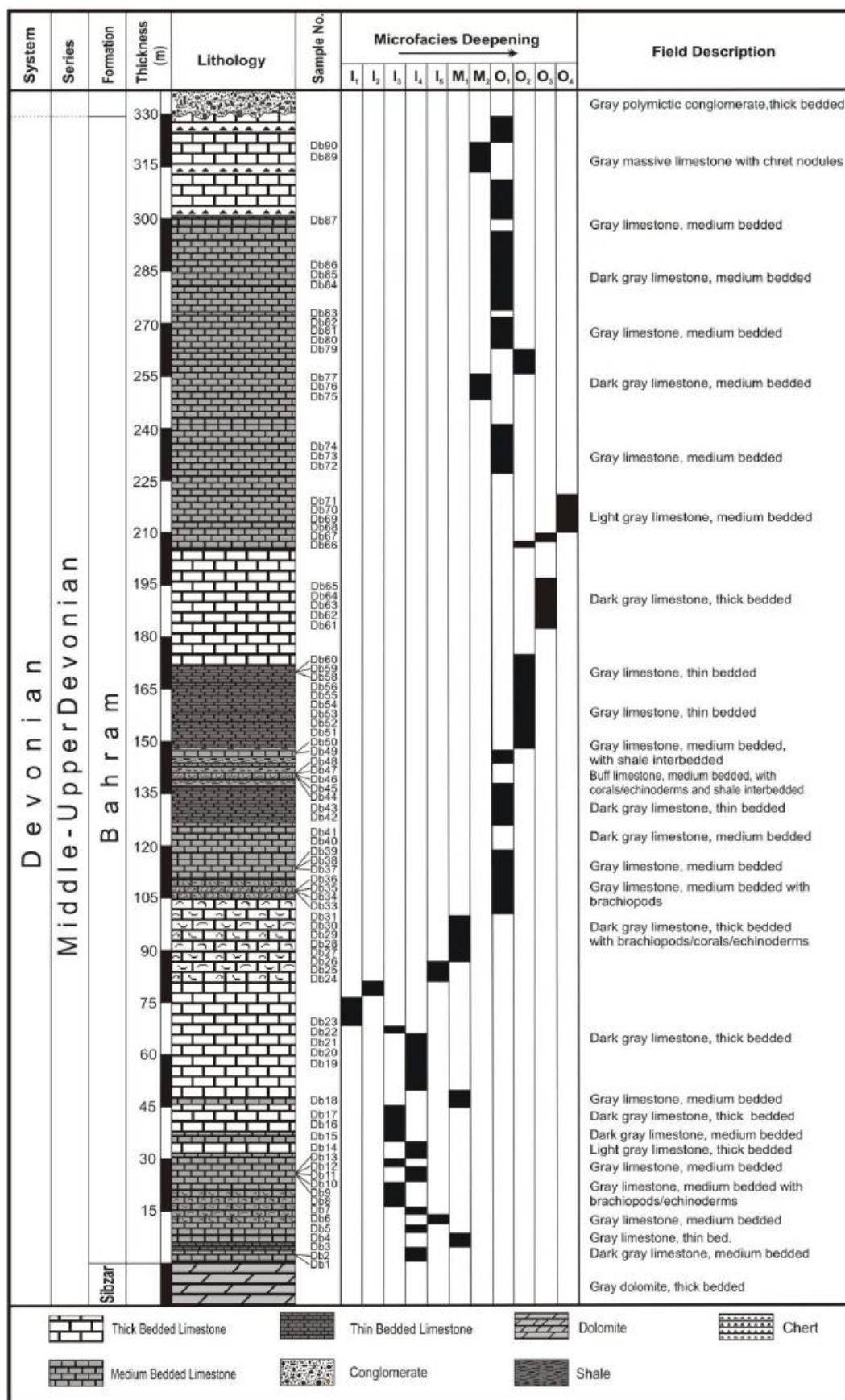
رخساره‌ای پهنه جزر و مدی، لاگون، پشته کربناته، کانالهای جزر و مدی و دریای باز بر اساس رخساره‌های توصیف شده، در یک پلاتفرم کربناته کم عمق جای می‌گیرند. بررسی تغییرات عمودی رخساره‌ها (شکل ۵)، نشانگر فقدان رسوبات دوباره نهشته شده و علایم ناشی از تغییر شیب ناگهانی مانند توربیدایتها و مؤید شیب ملایم این پلاتفرم کربناته می‌باشد (Burchette & Wright, 1992). با توجه به تغییر تدریجی رخساره‌های کم عمق دریایی و عدم گسترش ریفها که از ویژگیهای پلاتفرم نوع رمپ محسوب می‌شود (Einsle, 2000) و کربناتهای دوباره نهشته شده، نبود دانه‌های آنکوئید و دانه‌های آگرگات (خاص شلفهای لبه‌دار) و با در نظر گرفتن تغییرات جانبی و عمودی Rizerxساره‌های شناسایی شده و قانون والتر (Middleton, 1973)، پلاتفرم کربناته نوع رمپ برای نهشته‌های کربناته سازند بهرام در برش قلعه بالا، پیشنهاد می‌شود که با یک شیب ملایم، بدون شکست مشخص در دامنه، منطقه کم عمق ساحلی را به نواحی عمیق‌تر دریایی باز متصل می‌کرده است. با توجه به شواهد موجود، به نظر می‌رسد که این رمپ از سه بخش رمپ داخلی، میانی و خارجی تشکیل شده است. کمربندهای پهنه جزر و مدی و لاگون در بخش رمپ داخلی، کمربند پشته کربناته و کانالهای جزر و مدی در رمپ میانی و کمربند دریایی باز در بخش رمپ خارجی نهشته شده‌اند. الگوی رسوب گذاری پیشنهادی به طور شماتیک در شکل ۶ نمایش داده شده است.

فرآیندهای دیاژنزی موثر بر توالی مورد مطالعه ستگهای کربناته سازند بهرام در برش مورد مطالعه تحت تأثیر فرآیندهای دیاژنزی گوناگونی نظیر فشردگی فیزیکی و شیمیایی، سیمانی شدن، انحلال، نشمورفیسم، میکریتی شدن، دولومیتی شدن، ایجاد درزهای شکستگیها و جانشینی زمینه سنگ و دانه‌های کربناته توسط کانیهای غیرکربناته

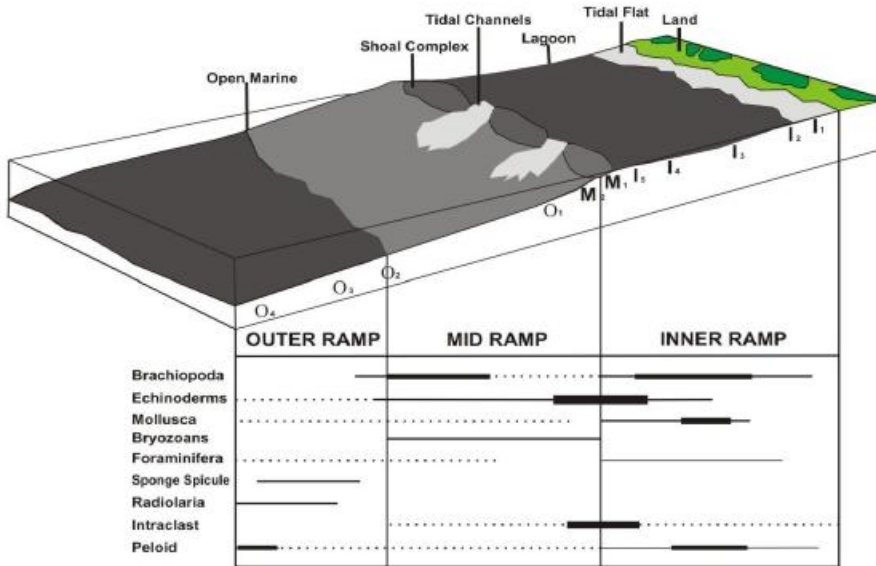
درون کانالهای جزر و مدی و محیط کم‌ژرفای دریایی تشکیل شده است (Flügel, 2010). با توجه به وجود زمینه اسپاری، فقدان میکرایت، ایتراکلاستهای درشت و گرد شده و اجزای اسکلتی دریایی باز، محیط تشکیل این Rizerxساره به کانالهای جزر و مدی نسبت داده می‌شود.

کمربند رخساره‌ای دریای باز: Rizerxساره‌های پکستون/گرینستون با یوکلاستی (O_1)، وکستون با یوکلاستی حفر شده (O_2)، وکستون پلوئیدی (O_3) و مادستون سیلیتی حاوی سوزن اسفنج (O_4) در این کمربند رخساره‌ای قرار می‌گیرند. حضور خرددهای اسکلتی موجودات استتوهالین در Rizerxساره O_1 همچون خارپستان و بربیزوزئر که اغلب به Holcova & Zagorsek, 2008 تغییرات شوری حساس هستند (Saber, 2008) و نیز مشخصات بافتی و موقعیت چینه نگاری این طبقات حاکی از تشکیل این Rizerxساره در محیط دریایی باز و تحت شرایط انرژی متوسط تا کم است (Flügel, 2010; Wilson, 1975). حضور قالبهای رادیولر، سوزن اسفنج، دوکفه‌ایها و شکم‌پایانی با صدف نازک نشانگر ته نشینی این Rizerxساره در محیط دریایی باز در بخش رمپ خارجی به سمت دریایی باز می‌باشد. وجود ذرات ریز و نبود سیمان در این Rizerxساره دلیلی بر نهشته شدن آن در محیط آرام با انرژی پایین است (Adachi et al., 2004). همراهی پلوئید با سوزن اسفنج، می‌تواند بیانگر شکل گیری Rizerxساره فوق در یک محیط نسبتاً عمیق وابسته به دریایی باز باشد (Flügel, 2010).

تغییرات عمودی رخساره‌ها و ارائه الگوی رسوب گذاری با توجه به این که توالیهای رخساره‌ای کربناته، به طور کلی حاصل تغییرات جانبی محیطی در طی زمان هستند (Tucker & Wright, 1990)، می‌توان با شناسایی Rizerxساره‌ها و بررسی شرایط تشکیل آنها، محیط رسوب گذاری را تفسیر و الگویی برای تهنشست این رسوبات ارائه نمود. کمربندهای



شکل ۵: توالی سنگ چینه‌ای و تغییرات عمق رخساره‌ها در سازند بهرام در برش قلعه بالا



شکل ۶: الگوی شماتیک ارائه شده برای محیط رسوب‌گذاری قدیمی و توزیع ریزرساره‌ها و اجزای تشکیل دهنده سازند پهراست در برش قلعه بالا (بدون مقیاس)

مماضی این آلوکمها قابل مشاهده است. به دنبال فشردگی مکانیکی، نمونه‌های مورد مطالعه در معرض فشردگی شیمیایی قرار گرفته‌اند. تماسهای بین دانه‌ای از نوع مقعر-محدب و مضرس، تشکیل استیلولیت و درزهای انحلالی جزو شواهد اصلی این نوع فشردگی است (شکل ۷ب).

انحلال و توسعه تخلخل

انحلال فرآیند اصلی دیاژنیکی است که به توسعه تخلخل منجر شده است. تخلخل یک پیش شرط لازم برای عملکرد دیاژنز است و مطالعه آن در سنگهای کربناته جهت فهم فرآیندهای دیاژنیکی و به ویژه ارزیابی سنگهای مخزن لازم است (Moore, 2001). انواع تخلخلهای بین دانه‌ای، درون دانه‌ای، قالبی، حفره‌ای، بین بلوری (ناشی از تبدیل کلسیت به دولومیت)، شکستگی و تخلخل ناشی از استیلولیتی شدن (شکل ۷پ) و تخلخلهای حاصل از فعالیت موجودات در نمونه‌های مورد مطالعه دیده می‌شود.

سیمانی شدن

در مقاطع نازک میکروسکوپی مورد مطالعه به ترتیب فراوانی، سه نوع سیمان کلسیتی، دولومیتی و هماتیتی مشاهده شده است. این سیمانها انواع تخلخلهای ذکر شده را پر کرده‌اند.

(مانند سیلیسی شدن و هماتیتی شدن) قرار گرفته است. انواع فرآیندهای دیاژنری مشاهده شده در نمونه‌های مورد مطالعه به شرح ذیل است:

میکراتیتی شدن

این فرآیند در مقاطع نازک میکروسکوپی مورد مطالعه به صورت پوشش میکراتیتی باریک در اطراف برخی دانه‌های اسکلتی دیده می‌شود (شکل ۷الف). برخی از آلوکمها به ویژه روزن‌داران خود میکراتیتی شده‌اند و شناسایی آنها مشکل شده است.

نمومورفیسم

این فرآیند در برخی از نمونه‌های میکراتیتی دیده می‌شود، به گونه‌ای که بخش‌هایی از میکراتیت تیره به کلسیتها ریزبلور تبدیل شده (تبدیل میکراتیت به میکرواسپار) و می‌توان گفت این فرآیند از نوع افزایشی است. پدیده نمومورفیسم در نمونه‌های مورد مطالعه گسترش محدودی دارد.

فشردگی

فشردگی در نمونه‌های مورد مطالعه به دو صورت مکانیکی و شیمیایی دیده می‌شود. فشردگی مکانیکی به صورت تغییر شکل، شکستگی و خردش‌گی آلوکمها و تماس نقطه‌ای و

سیمان موزائیکی هم بعد (*Equant mosaic cement*)^۷ ویژگی بارز این سیمان در توالی مورد مطالعه، داشتن بلورهای کوچک نیمه‌شکل دار با گسترش خوب سطوح مرزی است که تقریباً هماندازه می‌باشد. این سیمان همراه با سایر سیمانها تخلخلهای بین‌دانه‌ای، درون‌دانه‌ای و قالبی را پر کرده است (شکل ۷ذ).

سیمان شفاف کلسیتی دروزی (*Drusy calcite spar cement*)^۸ بلورهای کوچک تا درشت بلور این سیمان، تخلخل بین‌دانه‌ای و قالبی حاصل از انحلال بایوکلاستها در توالی مورد مطالعه را پر کرده است. این بلورها نیمه‌شکل دار بوده و از سمت دیواره آلوکها به سمت مرکز حفره اندازه بلورها درشت تر شده است (شکل ۷ار).

سیمان رورشی هم محور (*Syntaxial overgrowth cement*)^۹ در سنگهای مورد مطالعه، این سیمان در اطراف آلوکهای اسکلتی خارپوستان رشد کرده و همانند سیمان فراگیری به نظر می‌رسد که آلوک اسکلتی را در برگرفته است. سیمان نسبت به آلوک اسکلتی روشن‌تر و شفاف‌تر دیده می‌شود. سیمان رورشی هم محور در زیر محیط‌های پشت کربناته و دریایی باز به ویژه ریزرخسارهای گرینستونی غنی از قطعات خارپوست گسترش دارد (شکل ۷از).

تاریخچه تشکیل سیمان: به نظر می‌رسد سیمان فیری در توالی مورد مطالعه، طی مراحل اولیه دیاژنر دریایی (ائوژنر) شکل گرفته است. در مرحله بعدی، انواع سیمانهای موزائیکی هماندازه و دانه‌ای، دروزی، دندان‌سگی و رورشی هم محور بر روی سیمانهای نسل اول طی دیاژنر مشوریک فریاتیک تشکیل شده‌اند. سیمانهای این مرحله که تخلخلهای بین‌دانه‌ای، درون‌دانه‌ای، حفره‌ای، قالبی و شکستگی‌های نسل اول را پر کرده‌اند، گسترش زیادی دارند. سیمانهای کلسیتی درشت بلور آهن‌دار موزائیکی و دروزی و سیمان دولومیتی درشت بلور آهن‌دار که فضاهای باقی مانده از سیمانهای محیط دیاژنری مشوریک فریاتیک را

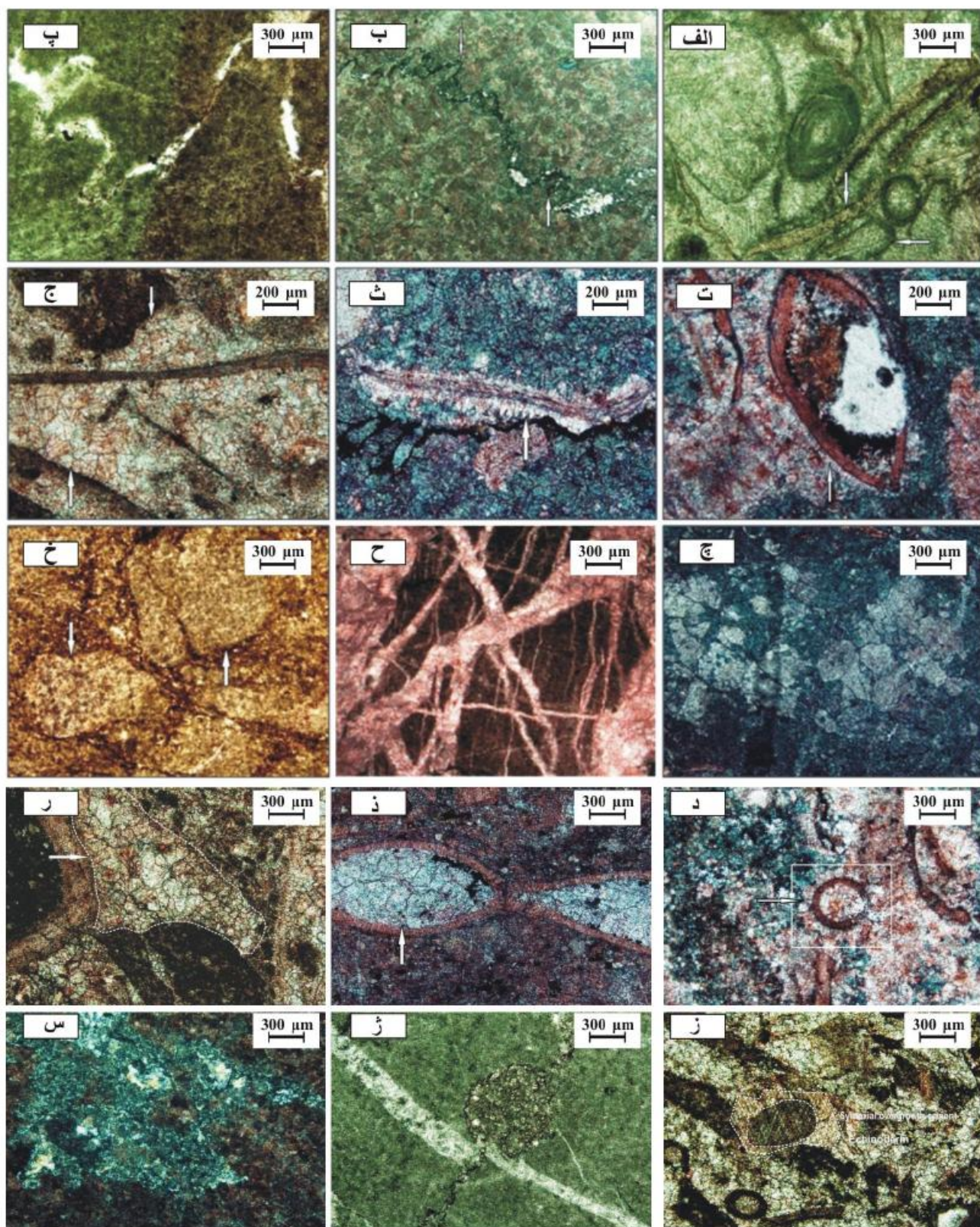
در این مقاطع سیمان کلسیتی بر اساس انواع سیمانهای ارائه شده توسط Flügel (2010)، شامل سیمانهای فیری، دندان‌سگی، تیغه‌ای، موزائیک دانه‌ای، موزائیک هم بعد، دروزی و رورشی هم محور است.

سیمان فیری (*Fibrous cement*)^{۱۰} در مقاطع میکروسکپی مورد مطالعه، این سیمان به صورت بلورهای رشتی و نسبتاً هم سبک و عمود بر دیواره برخی آلوکهای اسکلتی رشد کرده و گسترش ناچیزی دارد (شکل ۷ات).

سیمان دندان‌سگی (*Dog tooth cement*)^{۱۱} در نمونه‌های مورد مطالعه، به صورت بلورهای کلسیتی نوک تیز سه گوش و لوزی شکل دیده می‌شود که در سطح آلوکهای اسکلتی و در بعضی نمونه‌ها بر روی سیمان موزائیکی دانه‌ای رشد کرده‌اند. در این نمونه‌ها این سیمان متوسط تا درشت بلور بوده و طول بلورها متغیر است. با توجه به شواهد پتروگرافی به نظر می‌رسد که این سیمان طی دیاژنر مشوریک فریاتیک شکل گرفته است (شکل ۷ث).

سیمان دانه‌ای (*Granular cement*)^{۱۲} در سنگهای کربناته مورد بررسی، این نوع سیمان به صورت بلورهای کلسیتی کوچک تا درشت بلور نسبتاً هماندازه، بی‌شکل تا نیمه‌شکل دار و فاقد جهت یافته‌گی بوده و مرز بین بلورها، سطوح صاف می‌باشد. سیمان دانه‌ای در نمونه‌های مورد مطالعه پرکننده تخلخلهای بین‌دانه‌ای، قالبی و تخلخلهای ناشی از شکستگی است (شکل ۷ج) و نسبت به سایر سیمانها گسترش قابل توجهی دارد.

سیمان تیغه‌ای (*Bladed cement*)^{۱۳}: در مقاطع نازک مورد مطالعه، این سیمان مانند سیمانهای فیری و دندان‌سگی در دیواره برخی آلوکهای اسکلتی رشد کرده و گسترش زیادی ندارد. در این مقاطع میکروسکپی، بلورهای بی‌شکل تا نیمه‌شکل دار و نسبتاً طویل این سیمان حالت رشتی داشته و انتهای بلورها مانند سیمان دندان‌سگی تیز و سه گوش نیست (شکل ۷د).



شکل ۷: تصاویر میکروسکوپی برگزیده از مهمترین فرآیندهای دیازنتیک (برشهای رنگ آمیزی شده - نور عبوری): (الف) میکریتی شدن؛ (ب) استیلویتی شدن؛ (ب) تخلخل حاصل از فرآیند استیلویتی شدن؛ (ت) سیمان کلسیتی فیبری؛ (ث) سیمان کلسیتی دندان سگی؛ (ج) سیمان کلسیتی دانه‌ای ریزبلور؛ (ج) سیمان دولومیتی زین اسپی؛ (خ) شکستگیها؛ (خ) فابریک نودولار (بیکانها مرز نودولها را نشان می‌دهند)؛ (د) سیمان تینهای در اطراف آلوکم اسکلتی؛ (ذ) سیمان دانه‌ای هم بعد درون یک آلوکم اسکلتی (بیکان سفید رنگ)؛ (ر) سیمان کلسیتی در فضای بین آلوکمها (بیکان سفید رنگ)؛ (ز) سیمان رورشده هم مصوّر در اطراف یک قطعه اسکلت خارپوست؛ (ز) تشکیل بلورهای شکل دار دولومیت در امتداد استیلویت؛ (ن) سیلیسی شدن بخشهایی از زمینه سنگ.

بلورهای خودشکل^۱ و موزائیک بلورهای نیمدهشکل دار^۲ دیده می‌شوند (Gregg & Sibley, 1987) و از نظر اندازه متفاوت هستند. این نوع دولومیت به صورت سیمان آهن‌دار و بدون آهن فضاهای باقی مانده و به ندرت برخی از رگه‌ها را پر کرده است. دولومیت زین‌اسپی مشاهده شده در مقاطع نازک میکروسکوپی مورد مطالعه را می‌توان جزو این دسته در نظر گرفت (شکل ۷ج). دولومیت نسل آخر شامل بلورهای دولومیتی شکل‌دار است که هم به صورت بلورهای منفرد و پراکنده و هم بلورهای متراکم در زمینه سنگ، سطح برخی از آلومینا، امتداد استیلویتها و در سطح سیمانهای پرکننده رگه‌ها دیده می‌شود (شکل ۷ز). در برخی از نمونه‌ها، دولومیتی شدن به صورت انتخابی صورت گرفته است و با بخش کلسیتی مرز مشخصی را نشان می‌دهد.

سیلیسی شدن

سیلیسی شدن، مانند دولومیتی شدن، می‌تواند طی دیاژنر اولیه یا نهایی انجام شود. این فرآیند به فرم جانشینی انتخابی در فسیلهای Tucker, (2001) سیلیسی شدن میزان غلظت سیلیس را در سیالهای بین منفذی طی دیاژنر نشان می‌دهد (Hesse, 1990). سیلیس در زمینه بعضی از نمونه‌های مورد مطالعه به صورت بلورهای ریز و درشت بی‌شکل متعرکز که بقایای بلورهای کلسیتی در آن قابل مشاهده است (به فرم جانشینی) دیده می‌شود (شکل ۷). در برخی از نمونه‌ها نیز خود آلومینا سیلیسی شده‌اند. نکته قابل توجه وجود نودولهای درشت سیلیسی (در اندازه چند ده سانتی‌متر) در آخرین واحد سنگ آهکی در این توالی است.

شکستگی‌ها و پرشدگی رگه‌ها

گسترش شکستگی تابع عواملی مانند خصوصیات سنگ‌شناسی، اندازه دانه‌ها، ضخامت لایه‌ها و ویژگیهای

پر کرده‌اند به احتمال زیاد طی دیاژنر تدقیقی تشکیل شده‌اند. رنگ‌آمیزی نمونه‌ها نشان می‌دهد که این سیمانها ابتدا به صورت سیمان کلسیتی بدون آهن و سپس با ترکیب آهن‌دار تشکیل شده‌اند. این حالت می‌تواند بیانگر تغییر از شرایط محیط اکسیدان نزدیک سطح به شرایط عمیق احیایی باشد. به نظر می‌رسد pH سیالهای بین منفذی فعال در اکثر مراحل دیاژنر سنگهای کربناته سازند بهرام در برش مورد مطالعه، بالا بوده چون این شرایط سبب عدم توسعه سیمان سیلیسی در این سنگها و در داخل شکستگیها شده است. سیمان همایتی در مراحل زیاد در هنگام بالا آمدن رسویات، یونهای آهن توسط آبهای جوی و از طریق شکستگیها نسل آخر به داخل این سنگها نفوذ کرده و در شرایط اکسیدی، اکسید آهن آب‌دار تشکیل و با گذشت زمان به همایت تبدیل شده است. تاریخچه تشکیل انواع سیمانها در شکل ۸ نشان داده شده است.

دولومیتی شدن

دولومیتی شدن در نمونه‌های مورد مطالعه یکی از فرآیندهای دیاژنری فرآگیر است. در این مطالعه، بر مبنای اندازه بلورهای دولومیت و با استفاده از مقیاس ارائه شده توسط Folk (1980) چهار نسل دولومیت را می‌توان در نظر گرفت. دولومیت نسل اول بسیار ریزبلور تا ریزبلور (موزائیکهای هم بعد شکل‌دار تا نیمه شکل‌دار) بوده و در نمونه‌های متعلق به کمریند رخساره‌ای پهنه جزو رمدی دیده می‌شود. به احتمال زیاد دولومیت نسل اول در اولین مرحله و تقریباً همزمان با رسوب گذاری از آب دریا و یا بر اثر جانشینی آهک اولیه بلا فاصله پس از رسوب گذاری آن تشکیل شده که به عنوان دولومیت دیاژنر اولیه شناخته می‌شود (Adabi, 1996; Gregg & Shelton, 1990). دولومیتهای نسل دوم و سوم (ریز بلور تا درشت بلور) به حالت موزاییک

1- idiotopic

2- hypidiomorphic

Time	Diagenesis			
	Early	Meteoric	Burial	Late
Diagenetic Environment	Marine	Meteoric	Burial	Uplift
Diagenetic Process				
Primary porosity	—			
Protodolomite	—			
Burrowing	—			
Micritization	—		
Boring	—	—		
Mechanical compaction	—	—	
Neomorphism		—		
Dissolution		—	—
Geopetal fabric	—		
Calcitic cements	Bladed Fibrous Dog tooth Granular Equant mosaic Drusy mosaic Syntaxial overgrowth	—		
1st Fracturing		—		
Secondary porosity		—	—
Silicification			—	
Chemical compaction		Styrolitization Dissolution seams	—	
Nodular fabric			—	
Burial dolomitization			—	
2nd Fracturing				—
Fe-Oxide cement				—

شکل ۸: توالی پاراژنتیکی سازند بهرام در برش قلعه بالا.

قابل مشاهده بوده و در چند مرحله تشکیل شده است (شکل ۷ج). برخی از رگه‌ها توسط استیلویتیهای مرحله دفن قطع شده‌اند و شکستگی‌های نسل آخر استیلویتیها را قطع کرده‌اند. اکثر این شکستگیها توسط سیمان کلسیتی بدون آهن پر شده‌اند. این امر می‌تواند بیانگر شرایط اکسیدی در

چیه‌شناسی مانند رخساره، چرخه‌های رسوبی و دیاژنر است (Cooke *et al.*, 2006). فرآیندهای تکتونیکی نیز می‌توانند در مرحله نهایی دیاژنر و در هنگام بالا آمدگی، شکستگیها را افزایش دهند (Flügel, 2010). شکستگی در سازند مورد مطالعه، در مقیاسهای متفاوت ماکروسکوپی و میکروسکوپی

خوبی در مادستونها و پکستونها قابل مشاهده بوده و سبب به هم ریختگی بافت اولیه این سنگها شده است.

توالی پاراژنتیکی

تفسیر توالیهای پاراژنتیکی در یک ناحیه بیانگر زمان تأثیر فرآیندهای دیاژنتیکی و تقدم و تأخیر آنها می‌باشد (Tucker & Wright, 1990). فرآیندهای دیاژنزی متعددی طی مراحل مختلف، سنگهای مورد مطالعه را تحت تأثیر قرار داده‌اند. فرآیندهای سیمانی شدن، دولومیتی شدن و فشردگی شیمیایی (به ویژه تشکیل استیلولیت) از مهمترین و گسترده‌ترین فرآیندهای دیاژنسی در برش مورد مطالعه از سازند بهرام می‌باشد. در سنگهای کربناته این برش، تشکیل سیمان کلسیتی اولیه (سیمان فیری و سیمان دانه‌ای هم بعد ریزبلور)، دولومیتهای بسیار ریزبلور تا ریزبلور (Gregg & Shelton, 1990; Adabi, 1996)، فرآیندهای زیستی مانند نقبنی و حفاری و عمل میکرایتی شدن (Boggs, 2009) و شروع فشردگی مکانیکی طی دیاژنز اولیه (ائوژنز) صورت گرفته است. این مرحله از دیاژنز شامل فرآیندهایی است که رسوبات را در حین تنشست و بلافاصله پس از تنشست (Tucker & Wright, 1990) تحت تأثیر قرار می‌دهند. به نظر می‌رسد که رسوبات بعد از تحمل دیاژنز اولیه در بستر دریا ابتدا تحت تأثیر دیاژنز متوریک فریاتیک قرار گرفته‌اند و بعد وارد محیط دیاژنز تدفینی شده‌اند. در نمونه‌هایی که تحت تأثیر سیمانی شدن (سیمان کلسیت شفاف موzaïekی، سیمانهای دندان سگی و دروزی) در محیط متوریک فریاتیک قرار گرفته‌اند، فضاهای باقی مانده توسط سیمانهای دیاژنز تدفینی و دولومیتهای درشت بلور و آهن دار (نشان دهنده شرایط احیایی) پر شده‌اند. همچنین اثرات فشردگی مکانیکی و شیمیایی در این نمونه‌ها بسیار کم رنگ بوده و یا دیده نمی‌شود. وجود شکستگی‌های پر شده از سیمان کلسیت موzaïekی بدون آهن که توسط استیلولیتها قطع شده‌اند،

زمان تشکیل آنها باشد. شرایط اکسیدی در زمان پرشدگی شکستگیها مؤید تشکیل آنها طی دیاژنز نزدیک سطح، یا پس از مرحله بالاً‌مدگی و توسعه شکستگیها و ورود سیالات آب شیرین است (جیدری و همکاران، ۱۳۸۸). در قسمت پایین برش قلعه بالا با سنگ‌شناصی مادستون، گسترش شکستگیها سبب شده سنگ به حالت برشی درآید، به گونه‌ای که قطعات زاویه‌دار میکرایتی در یک زمینه اسپاری قرار گرفته و سنگ را به برش کربناته^۳ (Flügel, 2010) تبدیل کرده است.

سایر فابریکهای مشاهده شده

این فابریکها شامل ژئوپیال، لخته شده، نودولار، برشی شده و فابریک حاصل از آشفتگی زیستی هستند. در این نمونه‌ها فابریک ژئوپیال در دانه‌های اسکلتی (به ویژه شکم‌پایان) و نیز برخی از حفره‌ها دیده می‌شود. فابریک لخته شده در پکستونها و پکستونهای پلوئیدی قابل مشاهده می‌باشد. در فابریک نودولار که در پکستونهای خاکستری رنگ بخش عمیق زیر محیط دریایی باز دیده می‌شود، زمینه اصلی سنگ توسط درزه‌های انحلالی به شکل نودولهای گرد تقریباً هم اندازه درآمده است. مرز بین نودولها در بعضی از بخشها توسط درزه‌های تیره‌تر کاملاً مشخص شده است (شکل ۷۷). با توجه به این درزه‌ها و گستردگی فرآیند انحلال فشاری در برش مورد مطالعه، به احتمال زیاد این فابریک توسط فرآیندهای دیاژنتیکی (انحلال فشاری) شکل گرفته است. فابریک برشی شده در مادستونهایی که دچار چند مرحله شکستگی شده‌اند به وجود آمده است به این صورت که زمینه اصلی سنگ یعنی میکرایت، به صورت قطعات زاویه‌دار تیره رنگ داخل سیمان کلسیتی روشن که داخل شکستگیها را پر کرده است، دیده می‌شود. فابریک حاصل از آشفتگی زیستی در نمونه‌های مورد مطالعه به

3- Carbonate breccias

می‌تواند بیانگر تشکیل رگه‌های نسل اول قبل از ورود به محیط دیاژنر تدفینی باشد. شکستگیهای نسل آخر استیلویلیتها را قطع کرده‌اند. ایجاد شکستگیهای نسل آخر و تشکیل سیمان هماتیتی در طول دیاژنر نهایی (تلوزن) صورت گرفته است. به احتمال زیاد در هنگام بالا آمدن رسوبات، یونهای آهن توسط آبهای جوی و از طریق شکستگیها به داخل رسوبات نفوذ کرده و در شرایط اکسیدان، اکسید آهن آب‌دار تشکیل و با گذشت زمان به هماتیت تبدیل شده است. ترتیب رخدادها و پدیده‌های دیاژنریکی بر اساس تقدم و تأخیر زمانی نسبی آنها در شکل ۸ نشان داده شده است.

و سدیم شده باشد.

به طور کلی، کربناتهای آراغونیتی دریاهای گرم و کم عمق دارای منگتر اندکی (کمتر از ۲۰ پی‌پی‌ام) هستند، در حالی که مقدار منگتر در نمونه‌های کل کربناته مناطق معتدل Rao & Adabi, (1992). مقدار منگتر با افزایش تأثیر دیاژنر متاوریکی افزایش می‌یابد (Brand & Veizer, 1980). ترسیم مقادیر سدیم در برابر منگتر (شکل ۹) نشان می‌دهد سنگ آهکهای سازند بهرام نیز همانند سنگ آهکهای سازند مزدوران و گوردون تاسمانیا ترکیب کانی‌شناسی اولیه آراغونیتی داشته‌اند. البته همان طور که اشاره شد، میانگین مقدار منگتر در نمونه‌های سازند بهرام برابر با ۵۶۸/۸۴ پی‌پی‌ام می‌باشد. بالاتر بودن میزان منگتر در سازند بهرام نسبت به سازند مزدوران (۲۴۳ پی‌پی‌ام) نشان‌دهنده شدت بیشتر تأثیر دیاژنر متاوریک در این سازند است.

نسبت Sr/Mn: ترسیم مقادیر نسبت Sr/Mn در مقابل Mn می‌تواند معیاری به عنوان میزان انحلال سنگهای آهکی باشد (Rao, 1991). نسبت Sr/Mn در نمونه‌های مورد مطالعه بین ۰/۰۸ تا ۰/۲۳ در نوسان است و با مقدار Mn رابطه معکوس نشان می‌دهد. پایین بودن نسبت Sr/Mn در این نمونه‌ها

می‌تواند بیانگر تشکیل رگه‌های نسل اول قبل از ورود به محیط دیاژنر تدفینی باشد. شکستگیهای نسل آخر استیلویلیتها را قطع کرده‌اند. ایجاد شکستگیهای نسل آخر و تشکیل سیمان هماتیتی در طول دیاژنر نهایی (تلوزن) صورت گرفته است. به احتمال زیاد در هنگام بالا آمدن رسوبات، یونهای آهن توسط آبهای جوی و از طریق شکستگیها به داخل رسوبات نفوذ کرده و در شرایط اکسیدان، اکسید آهن آب‌دار تشکیل و با گذشت زمان به هماتیت تبدیل شده است. ترتیب رخدادها و پدیده‌های دیاژنریکی بر اساس تقدم و تأخیر زمانی نسبی آنها در شکل ۸ نشان داده شده است.

ژئوشیمی عنصری سنگ‌های سازند بهرام

مطالعات مختلف نشان داده است که از ژئوشیمی رسوبی می‌توان در تعبیر و تفسیر مسائل مختلف زمین‌شناسی استفاده نمود. تعیین کانی‌شناسی اولیه سنگ‌های آهکی، تعیین میزان دگرسانی، تفکیک انواع محیط‌های دیاژنریکی (متاوریکی، تدفینی، دریایی اولیه) و روندهای دیاژنری و شناسایی کربناتهای مناطق حاره‌ای، معتدل و قطبی، از مهم‌ترین کاربردهای مطالعات ژئوشیمیایی است که در این پژوهش بیشتر مورد توجه می‌باشد.

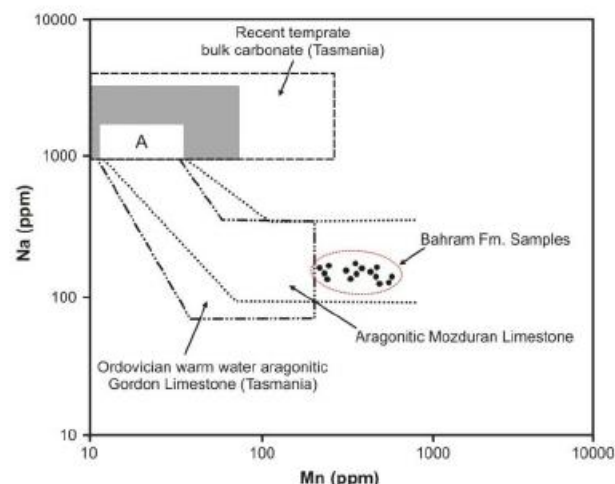
قرکیب عناصر اصلی و فرعی در نمونه‌های مورد مطالعه در این پژوهش، مقادیر عناصر اصلی کلسیم و منیزیم (بر حسب درصد) و عناصر فرعی آهن، منگنز، استرانسیم و سدیم (بر حسب پی‌پی‌ام) در نمونه‌های مورد مطالعه، پس از کسر مواد نامحلول در اسید، محاسبه شد. این مقادیر برای عنصر اصلی کلسیم بین ۳۰/۶۶ تا ۳۹/۳۵ درصد (میانگین ۳۴/۵۴ درصد) و برای عنصر منیزیم بین ۰/۴۶ تا ۰/۹۳ درصد (میانگین ۰/۶۶ درصد) در نوسان است (جدول ۱). مقایسه مقادیر کلسیم و منیزیم نشان می‌دهد تمامی نمونه‌های مورد مطالعه از نوع سنگ آهک می‌باشد. مقادیر استرانسیم بین

جدول ۱: داده‌های حاصل از آنالیز عناصر اصلی و فرعی نمونه‌های مورد مطالعه به روش طیف سنجی جذب اتمی

Sample No.	I. R. (%)	Ca (%)	Mg (%)	Mn (ppm)	Fe (ppm)	Sr (ppm)	Na (ppm)
1	Db-2	7.30	34.70	0.58	806.40	1477.28	67.80
2	Db-7	9.50	36.39	0.67	661.84	4360.00	73.06
3	Db-11	6.90	35.26	0.86	833.26	1786.93	89.24
4	Db-22	7.20	31.75	0.66	718.20	1076.36	85.30
5	Db-25	9.70	30.66	0.93	591.27	7735.50	58.43
6	Db-33	7.71	32.64	0.46	702.85	7867.70	79.08
7	Db-53	8.02	32.12	0.64	411.70	4082.67	80.00
8	Db-56	9.55	34.13	0.62	448.53	3240.00	65.24
9	Db-59	7.50	34.69	0.61	757.58	2366.43	67.01
10	Db-65	7.76	34.75	0.64	712.58	2339.53	61.76
11	Db-67	9.22	35.14	0.80	346.58	2285.74	71.61
12	Db-71	9.80	36.02	0.69	342.60	3614.80	79.74
13	Db-76	6.85	34.56	0.59	301.27	3321.25	71.31
14	Db-80	5.45	35.89	0.58	296.80	2523.53	53.36
15	Db-87	5.70	39.35	0.52	601.17	904.00	90.53
Average		8.01	34.54	0.66	568.84	3267.24	72.89
							217.87

این نسبت در نمونه‌های مورد مطالعه بین ۰/۴۵ تا ۰/۲۵ در نوسان است و با مقدار منگنز، رابطه مثبت نشان می‌دهد. با توجه به شکل ۱۱ و با در نظر گرفتن کاهش مقدار استرانسیم و سدیم و افزایش منگنز طی دیاژنر در نمونه‌های سازند بهرام و مقایسه نسبت Sr/Na در این نمونه‌ها با نسبت Sr/Na نمونه‌های مناطق حاره‌ای عهد حاضر و معتدل عهد حاضر، به نظر می‌رسد نمونه‌های مورد مطالعه، از نظر ترکیب نزدیک به نمونه‌های کل کربناته مناطق معتدل عهد حاضر باشند. بررسی نقشه‌های جغرافیای دیرینه دونین میانی - پسین نشان می‌دهد که منطقه مورد مطالعه بخشی از قاره گندوانا بوده و در محدوده مدار ۳۰ درجه جنوبی قرار داشته است (Scotese, 2014) که با نتایج ژئوشیمیایی مذکور همخوانی دارد.

نسبت استرانسیم به کلسیم (Sr/Ca): نسبت Sr/Ca در کربناتها به نسبت Sr/Ca آب دریا و ضریب توزیع عنصر استرانسیم در کربناتها بستگی دارد (Brand & Veizer, 1981).



شکل ۹: ترسیم تغییرات مقدار Na در برابر Mn در نمونه‌های مورد مطالعه بر روی نمودار ارائه شده توسط Rao & Adabi (1996)

نشان‌دهنده تأثیر دیاژنر متوریک و فرآیند انحلال در یک سیستم ژئوشیمیایی باز می‌باشد (شکل ۱۰). نسبت Sr/Na : سنگهای کربناته حاره‌ای عهد حاضر و دیرینه را می‌توان از معادله‌ای غیرحراره‌ای آنها به کمک نسبت Sr/Na و میزان منگنز، از هم تفکیک کرد (Rao, 1991).

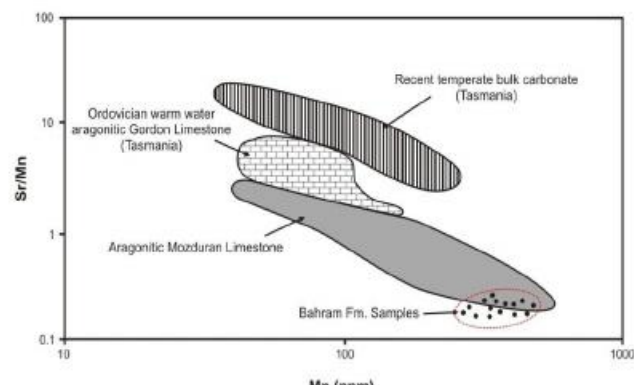
(LMC)، به نظر می‌رسد که محیط دیاژنیکی توالی مورد مطالعه از نظر ژئوشیمیایی یک سیستم باز بوده است (شکل ۱۲).

روند تغییرات عناصر اصلی و فرعی در طول توالی مورد مطالعه

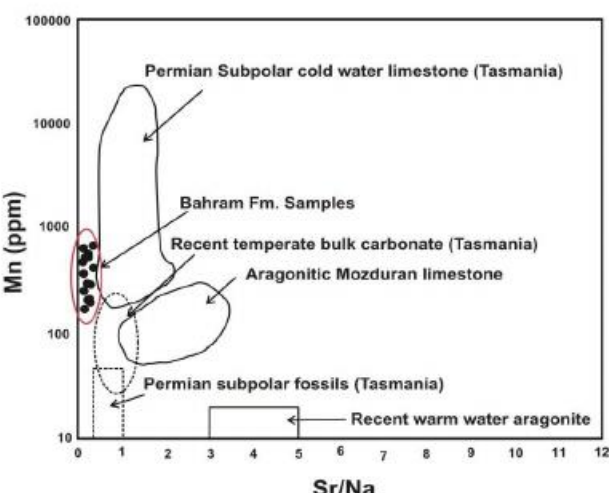
در سیستم‌های دیاژنیکی باز، تبادلات ژئوشیمیایی با سازندهای مجاور طی دیاژن تدفینی می‌تواند به بروز روند افزایشی یا کاهشی مقدار عناصر اصلی و فرعی در بخش‌های زیرین یا بالایی توالی مورد مطالعه منجر گردد (Mirab et al., 2009). ترسیم تغییرات مقدار عناصر اصلی و فرعی در برابر ضخامت سازند در این پژوهش، روند خاصی را نشان نمی‌دهد که این امر گویای عدم تأثیرپذیری قابل توجه از سازندهای مجاور طی دیاژن تدفینی است (شکل ۱۳).

نتیجه‌گیری

بر اساس اطلاعات حاصل از بازدید صحرایی، سازند بهرام در منطقه مورد مطالعه، شامل ۳۲۲ متر سنگ آهک‌های نازک تا ضخیم لایه خاکستری رنگ روشن تا تیره است. مرز زیرین این سازند با سازند سیزار در منطقه مورد مطالعه، یک مرز پیوسته و مرز بالای آن یک مرز فرسایشی می‌باشد. با توجه به کیفیت و نوع اجزای اسکلتی و غیراسکلتی تشکیل دهنده سنگ آهک‌های مورد مطالعه و بافت این سنگها، تعداد یازده ریزرخساره در قالب پنج کمریند رخساره‌ای پهنه جزرومدی، لاگون، پشت کربناته، کانالهای جزرومدی و دریای باز شناسایی گردید. بر اساس ارتباط ریز رخساره‌های شناسایی شده و پراکندگی آنها در طول توالی مورد مطالعه، سنگ آهک‌های مورد مطالعه در یک پلاتفرم کربناته کم عمق از نوع رمپ نهشته شده است. مطابق با ویژگیهای ریزرخساره‌های سنگی، این رمپ شامل

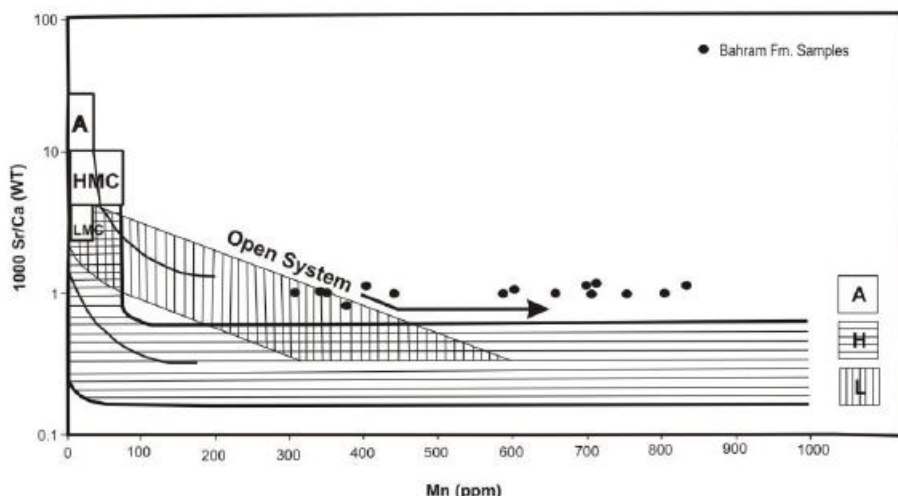


شکل ۱۰: ترسیم تغییرات نسبت Sr/Mn در برابر Mn در نمونه‌های مورد مطالعه بر روی نمودار ارائه شده توسط Rao (1991)

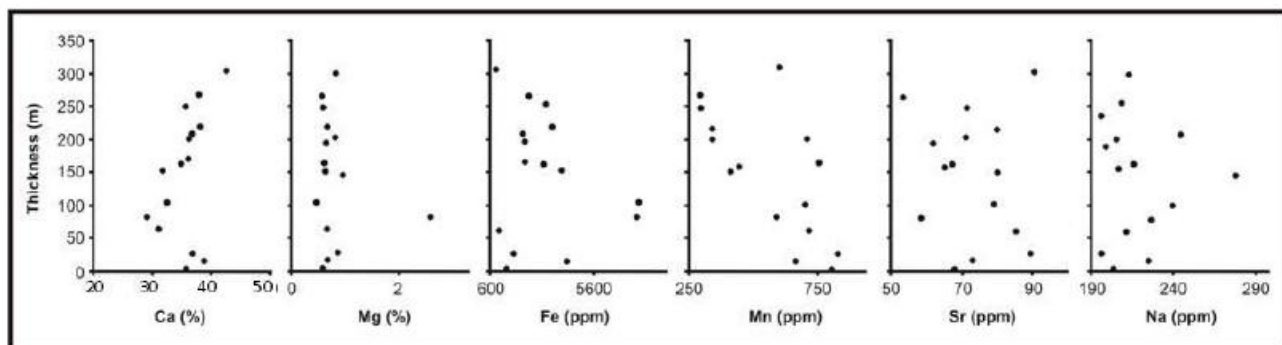


شکل ۱۱: تغییرات مقدار Mn در برابر نسبت Sr/Na در نمونه‌های مورد مطالعه بر روی نمودار ارائه شده توسط شده توسط Rao & Adabi (1996)

بر اساس ترسیم نسبت Sr/Ca در مقابل Mn می‌توان روند دیاژن در سیستم‌های ژئوشیمیایی باز و بسته را تعیین کرد (Brand & Veizer, 1981). به دلیل افزایش واکنش بین آب و سنگ در سیستم‌های دیاژنی باز، نسبت Sr/Ca کاهش می‌یابد در صورتی که در سیستم‌های دیاژنیکی نیمه بسته که فعل و انفعالات آب و سنگ کم است، این نسبت در فازهای دیاژنی تغییرات محسوسی نسبت به ترکیهای اولیه ندارد (آدبی، ۱۳۸۳). نسبت Sr/Ca در نمونه‌های مورد مطالعه بین ۰/۹۲ تا ۱/۶۶ در نوسان است. با توجه به محدوده‌های ترسیم شده توسط Brand & Veizer (1981) برای روند دیاژنیکی آрагونیت (A)، کلسیت با منیزیم بالا (HMC) و کلسیت کم منیزیم



شکل ۱۲: روند تغییرات نسبت Sr/Ca در برابر Mn در نمونه‌های مورد مطالعه بر روی نمودار ارائه شده توسط (1981) Brand & Veizer



شکل ۱۳: روند تغییرات مقادیر عناصر اصلی و فرعی در مقابل ضخامت توالی مورد مطالعه

در ابتدا تحت تأثیر دیاژنر اولیه دریابی قرار گرفته، بعد وارد محیط دیاژنر مشوریک فریاتیک شده و سپس وارد محیط دیاژنر دفعی شده‌اند. زمان تأثیر دیاژنر مشوریک فریاتیک بر روی این رسوبات طولانی بوده است. بر اساس مطالعات ژئوشیمیابی، سنگهای مورد مطالعه کانی شناسی اولیه آرگونیتی داشته‌اند. همچنین این سنگها در یک محیط دیاژنیکی باز نهشته شده‌اند و از نظر ترکیب نزدیک به نمونه‌های کل کربناته مناطق معتدل عهد حاضر می‌باشند.

سه بخش رمپ داخلی، میانی و رمپ خارجی است. نتایج حاصل از مطالعات پتروگرافی و رنگ آمیزی مقاطع نازک میکروسکوپی نشان می‌دهد فرآیندهای اتحال، سیمانی شدن، دولومیتی شدن، و فشردگی شیمیابی مهمترین فرآیندهای دیاژنری مؤثر بر سنگهای برش مورد مطالعه می‌باشند. مطالعات پتروگرافی و ژئوشیمیابی نشان می‌دهد سنگهای کربناته سازند بهرام در برش قلعه بالا، تحت تأثیر دیاژنر دریابی، مشوریک فریاتیک و دفعی قرار گرفته‌اند. رسوبات

منابع

- آدابی، م.ح، ۱۳۸۳. ژئوشیمی رسویی. انتشارات آرین زمین، ۴۴۸ ص.
- آقاباتی، ع، ۱۳۸۹. زمین شناسی ایران. سازمان زمین شناسی و اکتشافات معدنی کشور، ۵۸۶ ص.
- احمدزاده هروی، م، عashori، ع، گندمی، ر، ۱۳۸۶. مطالعه برآکیوپدهای سازند بهرام در مقطع چشم شیر (ازبک کوه، شمال شرق طبس). هفتمین همایش سالانه انجمن زمین شناسی ایران، ۶ ص.

- احمدی، ن.، عاشوری، ع.، ۱۳۷۷. بررسی کنودنهای سازند بهرام در کوه فغان (جنوب کашمر). دومین همایش انجمن زمین شناسی ایران، مشهد، ۶ ص.
- بخیاری، س.، ۱۳۸۴. اطلس راههای ایران. ۱:۱۰۰۰۰۰. مؤسسه جغرافیایی و کارتوگرافی گیاتاشناسی، ۲۲۸ ص.
- رفعت بهاری، ط، خاکسار، ک.، عاشوری، ع.، ۱۳۸۵. بررسی مرجانهای ژیوسین بالایی - فرازین سازند بهرام، جنوب ازبک کوه. فصلنامه علوم زمین، ۱۵: ۵۹-۶۹.
- حسین آبادی، م.، محبوی، ا.، میراب شبستری، غ.، معتمد، ا.، ۱۳۹۲. ریزدخاره‌ها و محیط رسوبی سازند بهرام در برش چشمہ شیر، شمال شرق طبس. سی و دومین گردهمایی و نخستین کنگره بین‌المللی تخصصی علوم زمین - زمین شناسی بنیادی، مرکز زمین شناسی و اکتشافات معدنی شمال شرق کشور، مشهد، صص ۴۲۵-۴۴۱.
- حیدری، ا.، محبوی، ا.، موسوی حرمی، ر.، ۱۳۸۸. تفسیر تاریخچه دیاژنزی سنگهای کربناته سازند چهل کمان (پالتوسن پسین) در غرب حوضه رسوبی که داغ. فصلنامه زمین شناسی ایران، ۱۲: ۱۳-۲۶.
- رستم نژاد، ع.، قربانی، م.، رضایی، پ.، هاشمی، ا.، ۱۳۹۱. مطالعه سنگ رخساره‌ها، محیط‌های رسوبی و ویژگی‌های دیاژنتیکی سازند بهرام در شمال کرمان (برش هوتك). سی و یکمین گردهمایی علوم زمین، سازمان زمین شناسی و اکتشافات معدنی کشور، ۷ ص.
- علوی نائینی، م.، ۱۳۸۸. چکیده‌ای از چینه شناسی ایران. سازمان زمین شناسی و اکتشافات معدنی کشور، ۵۰۷ ص.
- هاشمی، ا.، قربانی، م.، رضایی، پ.، رستم نژاد، ع.، غلامعلیان، ح.، نیکبخت، ف.، ۱۳۹۱. فرآیندهای دیاژنزی و توالی پاراژنتیکی سازند بهرام در برش سردر شمال کرمان. اولین همایش زمین شناسی فلات ایران، کرمان، ۶ ص.

- Adabi, M.H., 1996. Sedimentology and geology of carbonates from Iran and Tasmania. *Ph.D. thesis, University of Tasmania, Australia, 470 p.*
- Adabi, M.H., 2002. Petrography and geochemical criteria for recognition of unaltered cold water and diagenetically altered neoproterozoic dolomite, Western Tasmania, Australia. *16th Australian Geol. Conv., Australia (Abst.), p. 350.*
- Adabi, M.H., & Rao, C.P., 1996. Petrographic, elemental and isotopic criteria for the recognition of carbonate mineralogy and climates during the Jurassic (e.g., from Iran and Australia). *Proceedings, 13th Geological Conference Australia (Abst.), p. 6.*
- Adachi, N., Ezaki, Y., & Liu, J., 2004. The origins of peloids immediately after the end Permian extinction, Guizhou Province, South China. *Sedimentary Geology, 164: 161-178.*
- Alsharhan, A.S., & Kendall, C.G.S.T.C., 2003. Holocene coastal carbonates and evaporites of the southern Arabian Gulf and their ancient analogues. *Earth Science Review, 61: 191-243.*
- Boggs, S.Jr., 2009. Petrology of Sedimentary Rocks. Cambridge University Press, 600 p.
- Bosence, D.W.J., & Wilson, R.C.L., 2003. Carbonate depositional systems. In: Coe, A., (ed.), The Sedimentary Record of Sea-Level Change. The Open University/Cambridge University Press, 209 p.
- Brand, U., & Veizer, J., 1980. Chemical diagenesis of a multicomponent carbonate system-I; trace elements. *Journal of Sedimentary Petrology, 50: 1219-1236.*
- Brand, U., & Veizer, J., 1981. Chemical diagenesis of multicomponent carbonate system-II; stable Isotopes. *Journal of Sedimentary Petrology, 51: 987-997.*
- Brasier, A.T., Fallick, A.E., Prave, A.R., Melezhik, A.V., & Lepland, A., 2011. Coastal sabkha dolomites and calcitised sulphates preserving the Lomagundi-Jatuli carbon isotope signal. *Precambrian Research, 189(1-2): 193-211.*
- Burchette, T.P., & Wright, V.P., 1992. Carbonate ramp depositional systems. *Sedimentary Geology, 79: 3-35.*

- Carannante, G., Ruberti, D. & Sirna, M., 2000. Upper Cretaceous low-energy ramp limestone from the Sorrento Peninsula (Southern Apennines, Italy); micro and macro fossil association and their significance in the depositional sequences. *Sedimentary Geology*, 132: 89-124.
- Cooke, M.L., Simo, J.A., Underwood, C.A., & Rijken, P., 2006. Mechanical stereographic controls on fracture patterns within carbonates and implications for ground water flow. *Sedimentary Geology*, 184: 225-239.
- Dickson, J.A.D., 1965. A modified staining technique for carbonate in thin section. *Nature*, 205: 587.
- Dunham, R.J., 1962. Classification of carbonate rocks according to depositional texture. In: Ham, W.E., (ed.), *Classification of Carbonate rocks*. American Association of Petroleum Geology, Mem. 1: 108-121.
- Einsele, G., 2000. *Sedimentary Basin, Evolution, Facies and Sediment Budget*, 2nd edition. Springer-Verlag, Berlin, 292 p.
- Embry, A.F., & Klovan, J.E., 1971. A Late Devonian reef tract on Northeastern Banks Island: N.W.T. *Bulletin of Canadian Petroleum Geology*, 19 (4): 730-781.
- Flügel, E., 2010. *Microfacies analysis of carbonate rocks: analyses, interpretation and application*. Springer-Verlag, Berlin, 976 p.
- Folk, R.L., 1980. *Petrology of Sedimentary Rocks*. Hemphill Publ. Co., Austin, Texas, 182 p.
- Irwin, M.L., 1965. General theory of epirc clear water sedimentation. *American Association of Petroleum Geologists Bulletin*, 49: 445-459.
- Geel, T., 2000. Recognition of stratigraphic sequence in carbonate platform and slope: empirical models based on microfacies analysis of Paleogene deposits in Southeastern Spain. *Palaeogeography, Palaeoclimatology, Palaeoecology*, 155 (3): 211-238.
- Gregg, J.M., & Sibley, D.F., 1987. Epigenetic dolomitization and the origin of xenotopic dolomite texture reply. *Journal of Sedimentary Petrology*, 56: 735-763.
- Gregg, J.M., & Shelton, K.L., 1990. Dolomitization and dolomite neomorphism in the back reef facies of the Nonneterre and Davies Formations (Cambrian), Southeastern Missouri. *Journal of Sedimentary Petrology*, 60: 549-562.
- Hesse, R., 1990. Silica diagenesis, origin of inorganic and replacement cherts. In: McIlreath, A., & Morrow, D.W., (eds.), *Diagenesis*. Geoscience Canada, Reprint Series, 4: 253-275.
- Holcova, Z., & Zagorsek, K., 2008. Bryozoa, foraminifera and calcareous nannoplankton as environmental proxies of the “bryozoan event” in the Middle Miocene of the Central Paratethys (Czech Republic). *Palaeogeography, Palaeoclimatology, Palaeoecology*, 267: 216–234.
- Immenhauser, C.N., Amour, F., Mutti, M., Preston, R., Fiona, F., Whitaker, F.F., Peterhänsel, A., Egenhoff, S.O., Paul, A., Dunn, P.A., & Agar, S.M., 2012. Triassic Latemar cycle top sub-aerial exposure of platform carbonates under tropical arid climate. *Sedimentary Geology*, 265: 1–29.
- Masse, J.P., Fenerci, M., & Pernarcic, E., 2003. Palaeobathymetric reconstruction of peritidal carbonates, Late Barremian, Urgonian, sequences of province (SE France). *Palaeogeography, Palaeoclimatology, Palaeoecology*, 200: 65-81.
- Middleton, G.V., 1973. Johannes Walther's Law of the correlation of facies. *Geological Society of America Bulletin*, 84: 979-988.
- Mirab Shabestari, G., Worden, R.H., & Marshall, J.D., 2009. Source of cement in the Great Oolite Reservoir, Storrington Oilfield, Weald Basin, south of England. *Journal of Science, Islamic Republic of Iran*, 20(1): 41-53.
- Moore, C.H., 2001. Carbonate reservoirs: Porosity evolution and diagenesis in a sequence stratigraphic framework. *Developments in Sedimentology* #55, Elsevier, Amsterdam, 460 p.
- Palma, R., López-Gómez, J., & Piethé, R., 2007. Oxfordian ramp system (La Manga Formation) in the Bardas Blancas area (Mendoza Province) Neuquén Basin, Argentina, Facies and depositional sequences. *Sedimentary Geology*, 195: 113-134.
- Papazzoni, C.A., & Trevisani, E., 2006. Facies analysis, palaeoenvironmental reconstruction, and biostratigraphy of the “Pesciara di Bolca” (Verona, northern Italy): An early Eocene Fossil-Lagerstätte. *Palaeogeography, Palaeoclimatology, Palaeoecology*, 242 (1-2): 21–35.
- Rao, C.P., 1991. Geochemical differences between subtropical (Ordovician), cool-temperate (recent and Pleistocene) and subpolar carbonates, Tasmania, Australia. *Carbonates and Evaporites*, 6: 83-106.

- Rao, C.P., & Adabi, M.H., 1992. Carbonate minerals, major and minor elements and oxygen and carbon isotopes and their variation with water depth in cool, temperate carbonates, Western Tasmania, Australia. *Marine Geology*, 103: 249-272.
- Ruttner, A., Nabavi, M.H. & Alavi, M., 1970. Geological map of the Ozbak-Kuh Mountains, scale 1:100,000. *Geological Survey of Iran*.
- Saber, S.G., 2012. Depositional framework and sequence stratigraphy of the Cenomanian-Turonian rocks on the western side of the Gulf of Suez, Egypt. *Cretaceous Research*, 37: 300-318.
- Sandullia, R., & Raspini, A., 2004. Regional to global correlation of Lower Cretaceous (Hauterivian-Barremian) shallow-water carbonates of the southern Apennines (Italy) and Dinarides (Montenegro), Southern Tethyan Margin. *Sedimentary Geology*, 165: 117-153.
- Scotese, C.R., 2014. Paleomap Project. <http://www.scotese.com>.
- Tomasovych, A., 2004. Microfacies and depositional environment of Upper Triassic intra-platform carbonate basin; the Fatic unit of West Carpathians (Slovakia). *Facies*, 50: 77-105.
- Tucker, M.E., & Wright, V.P., 1990. *Carbonate Sedimentology*. Blackwell, Oxford, 482 p.
- Tucker, M.E., 2001. *Sedimentary Petrology: an introduction to the origin of sedimentary rocks*. Wiley-Blackwell, 262 p.
- Warren, J.K., 2000. Dolomite, Occurrence, evolution and economical important association. *Earth Science Review*, 52: 1-180.
- Wilson, J.L., 1975. *Carbonate Facies in Geologic History*. Springer-Verlag, New York, 471 p.

Sedimentary environment, diagenesis and geochemistry of carbonate rocks of Bahram Formation (Middle-Late Devonian) in Qaleh-bala section (Ozbak-kuh, east of Iran)

Mahmoudi, F.¹, Mirab Shabestari, Gh.^{2*}, Khazaei, A.R.³

1- M.Sc. in Sedimentology and Sedimentary Petrology, Department of Geology, Faculty of Sciences, University of Birjand, Birjand, Iran

2- Associate Professor, Department of Geology, Faculty of Sciences, University of Birjand, Birjand, Iran

3- Assistant Professor, Department of Geology, Faculty of Sciences, University of Birjand, Birjand, Iran

*Email: gshabestari@birjand.ac.ir

Introduction

Bahram Formation (Middle-Late Devonian) is the second stratigraphic unit of the Ozbak-kuh Group in east of Central Iran. It generally consists of bluish-gray to gray limestones which gradually covers dolomites of the Sibzar Formation and is overlaid by Shishtu Formation or with an erosional contact in some regions (Aghanabati, 2010). Most of the previously published works, (e.g. Ahmadi & Ashuri, 1998; Bahari *et al.*, 2006; and Ahmadzadeh Heravi *et al.*, 2007), have had mainly focused on biostratigraphy and lithostratigraphy of Bahram Formation. But in recent years, some other studies about microfacies, sedimentary environment, sequence stratigraphy and paragenetic sequence of Bahram Formation have been carried out by Rostamnezhad *et al.* (2012), Hashemi *et al.* (2012) and Hoseinabadi *et al.* (2013). In this research, a stratigraphic section of carbonate rocks of Bahram Formation with 332 m thickness in the east of Ozbak-kuh village, north of Tabas city (Southern Khorasan Province), has been measured, sampled and studied. This sequence generally has been made of gray colored, thin to thick bedded limestones.

Discussion

Based on detailed petrographic studies, all limestone samples have been assigned to one of the 11 different carbonate microfacies as follows: (I₁) Dolomitized Mudstone, (I₂) Lime Mudstone, (I₃) Peloidal Mudstone/Wackestone, (I₄) Bioclastic Wackestone/Packstone, (I₅) Peloidal Grainstone, (M₁) Bioclastic Grainstone, (M₂) Intraclastic Floatstone/Packstone, (O₁) Bioclastic Packstone/Grainstone, (O₂) Burrowed Bioclastic Wackestone, (O₃) Peloidal Wackestone and (O₄) Sponge Spicule-bearing Silty Mudstone. These microfacies were deposited within five different facies belts including tidal flat, lagoon, tidal channel, shoal and open marine belts. Based on vertical changes of facies, there is no evidence of re-deposited sediments, turbidite facies or even persistent reef structures which indicates a gentle homoclinal ramp-shaped carbonate platform.

Based on the microscopic evidences, the most significant diagenetic processes affected the Bahram Formation samples are compaction, micritization, bioturbation, neomorphism, cementation, dolomitization, fracturing, dissolution and cavity fillings. Also, different types of sparry calcite cement such as fibrous, dog tooth, granular, bladed, equant mosaic, drusy mosaic and syntaxial overgrowth were identified that had been formed in marine, meteoric and burial diagenetic environments. In addition, four distinct types of dolomites have been found that are formed in early marine and deep burial diagenetic stages. Generally, interpreted paragenetic sequence confirms that the phreatic meteoric diagenetic stage has had the most effect on the studied samples.

Geochemical data were obtained from analysis of Ca and Mg major elements and Mn, Fe, Sr and Na minor elements within the appropriate selected samples using Atomic Absorption Spectrophotometry method. The low amounts of Sr and Na, low Sr/Mn ratio as well as relatively high values of Mn confirm effect of meteoric diagenesis on these samples. Comparison of Sr/Na ratio of the studied samples with the published recent temperate and tropical examples suggests that the palaeoenvironment of the Bahram Formation is very similar to the recent temperate regions. Moreover, the Sr/Ca ratios indicate that these carbonate rocks, geochemically, have been affected by open-system during different diagenetic stages.

Results

Based on the field and petrographic studies, totally eleven different carbonate microfacies have been identified. These microfacies have been deposited in five different facies belts within a ramp-type carbonate platform. The most significant diagenetic processes that have been affected the Bahram Formation samples are compaction, cementation, dolomitization, dissolution and cavity fillings, bioturbation and fracturing. Interpretation of paragenetic sequence of the studied limestones reveals the effects of diagenetic processes in marine, meteoric and burial environments. Elemental analysis indicates that aragonite was primary mineralogy for these limestones and also show that the palaeoenvironment was similar to the recent temperate regions. Diagenetic environment of these carbonate rocks has had an open-system geochemically.

Keywords: Bahram Formation; Ozbak-kuh; Middle-Late Devonian; carbonate ramp; diagenesis; geochemistry

References

- Aghanabati, A., 2010. Geology of Iran. *Geological Survey of Iran*, 586 p. [in Persian].
- Ahmadi, N., & Ashouri, A., 1998. Investigation on Bahram Formation conodonts in Kuh-e-Faghan, south of Kashmar. *Proceedings of the 2nd Seminar of Geological Society of Iran*, 6 p. [in Persian].
- Ahmadzadeh Heravi, M., Ashuri, A., & Gandomi, R., 2007. Study of Bahram Formation brachiopods at Cheshmeh-shir section (Ozbak-kuh, NE Tabas). *Proceedings of the 7th Seminar of Geological Society of Iran*, 6 p. [in Persian].
- Rafat Bahari, T., Khaksar, K., & Ashouri, A., 2006. Study of Late Givetian-Frasnian corals of Bahram Formation, south of Ozbak-kuh. *Geosciences Quarterly*, 59: 56-69 [in Persian].
- Hashemi, A., Ghorbani, M., Rezaei, P., Rostamnezhad, A., Gholamian, H. & Nikbakht, F., 2012. Diagenetic processes and paragenetic sequence of Bahram Formation in Sardar section, north of Kerman. *Proceedings of the 1st Seminar on Geology of Iran Plateau*, 6 p. [in Persian].
- Hoseinabadi, M., Mahboubi, A., Mirab Shabestari, G., & Motamed, A., 2013. Microfacies and sedimentary environment of Bahram Formation in Cheshmeh-shir section, NE Tabas. *Proceedings of the 32nd Seminar and the 1st International Professional Congress of Earth Sciences, Geological Survey of Iran, Mashad Branch*, pp. 435-441 [in Persian].
- Rostamnezhad, A., Ghorbani, M., Rezaei, P., & Hashemi, A., 2012. Study of lithofacies, sedimentary environment and diagenetic features of Bahram Formation in north of Kerman (Hootak section). *Proceedings of the 31st Seminar of Earth Sciences, Geological Survey of Iran*, 7 p. [in Persian].